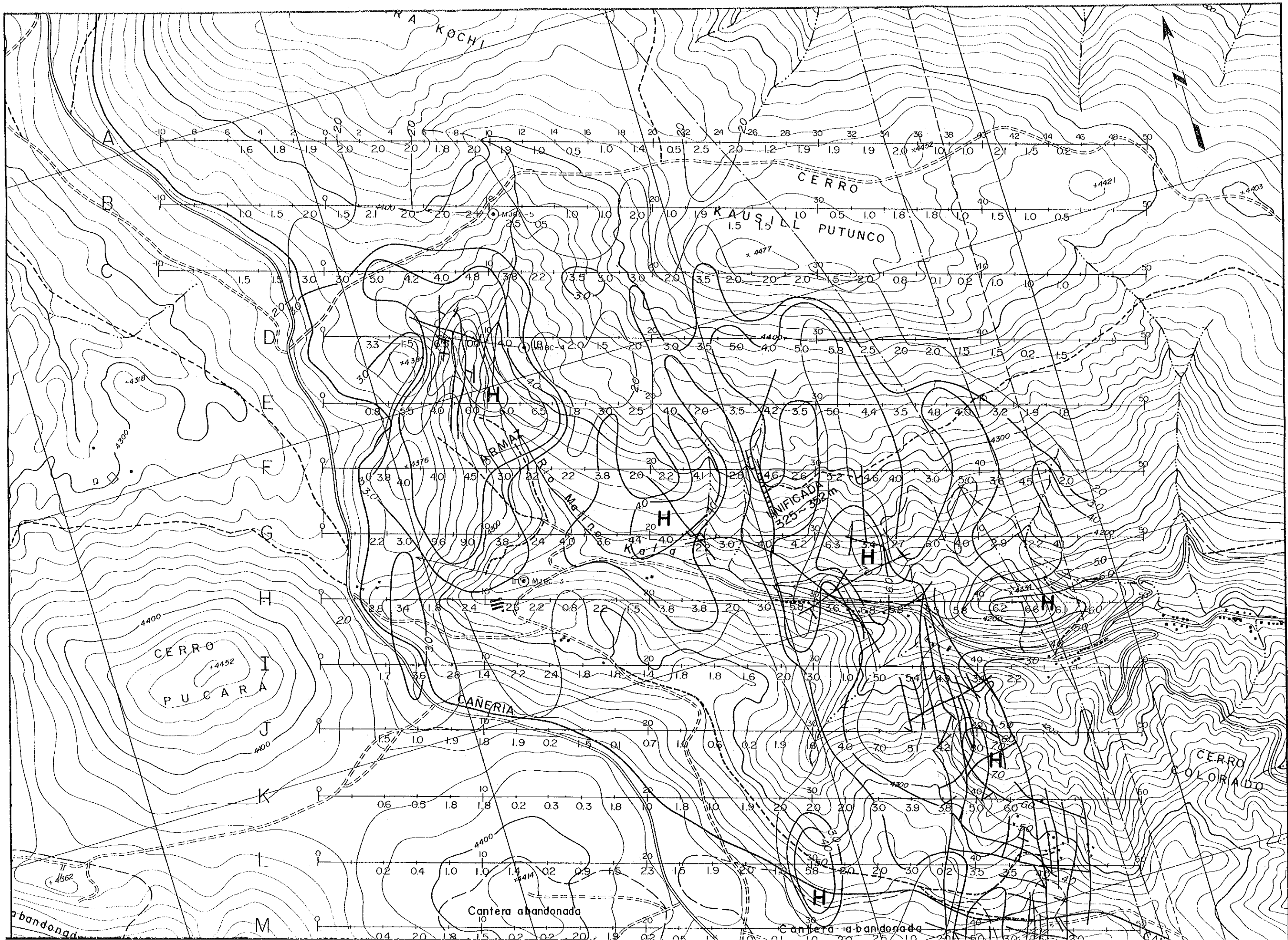
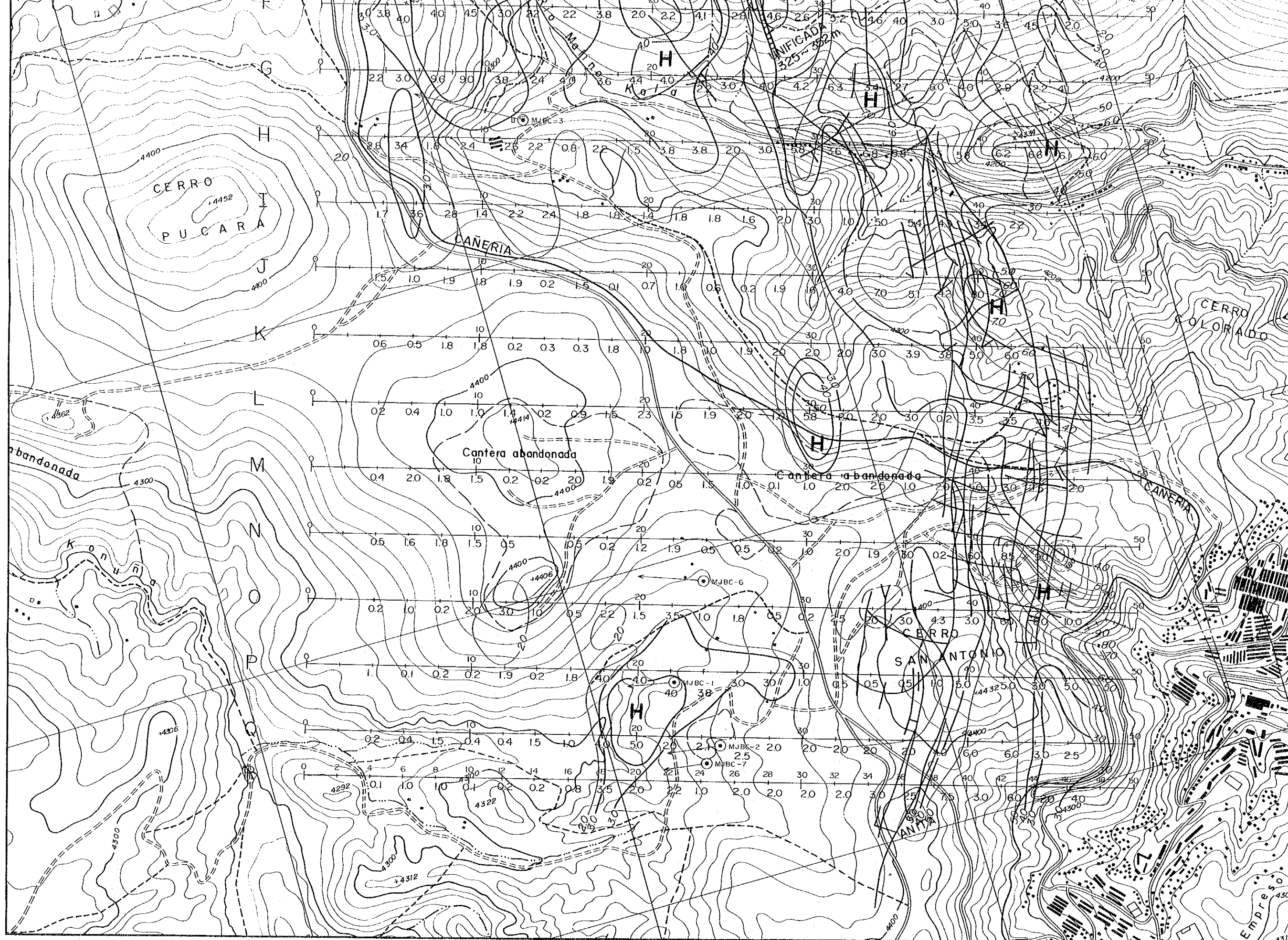


PL.-6 Plano de la Resistividad Aparente ( $n=4$ )

Unidad:  $\Omega \cdot m$  0 500m



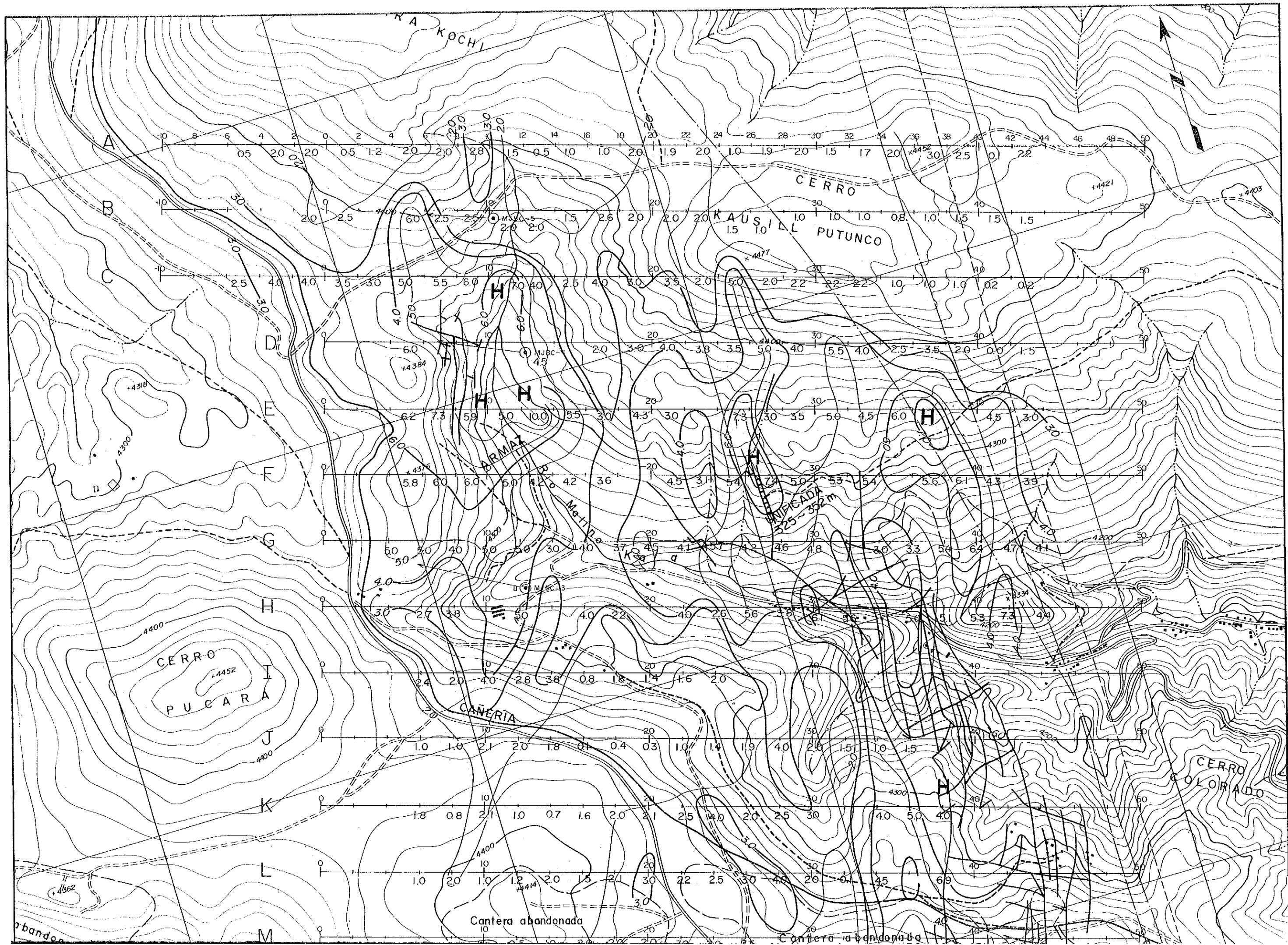


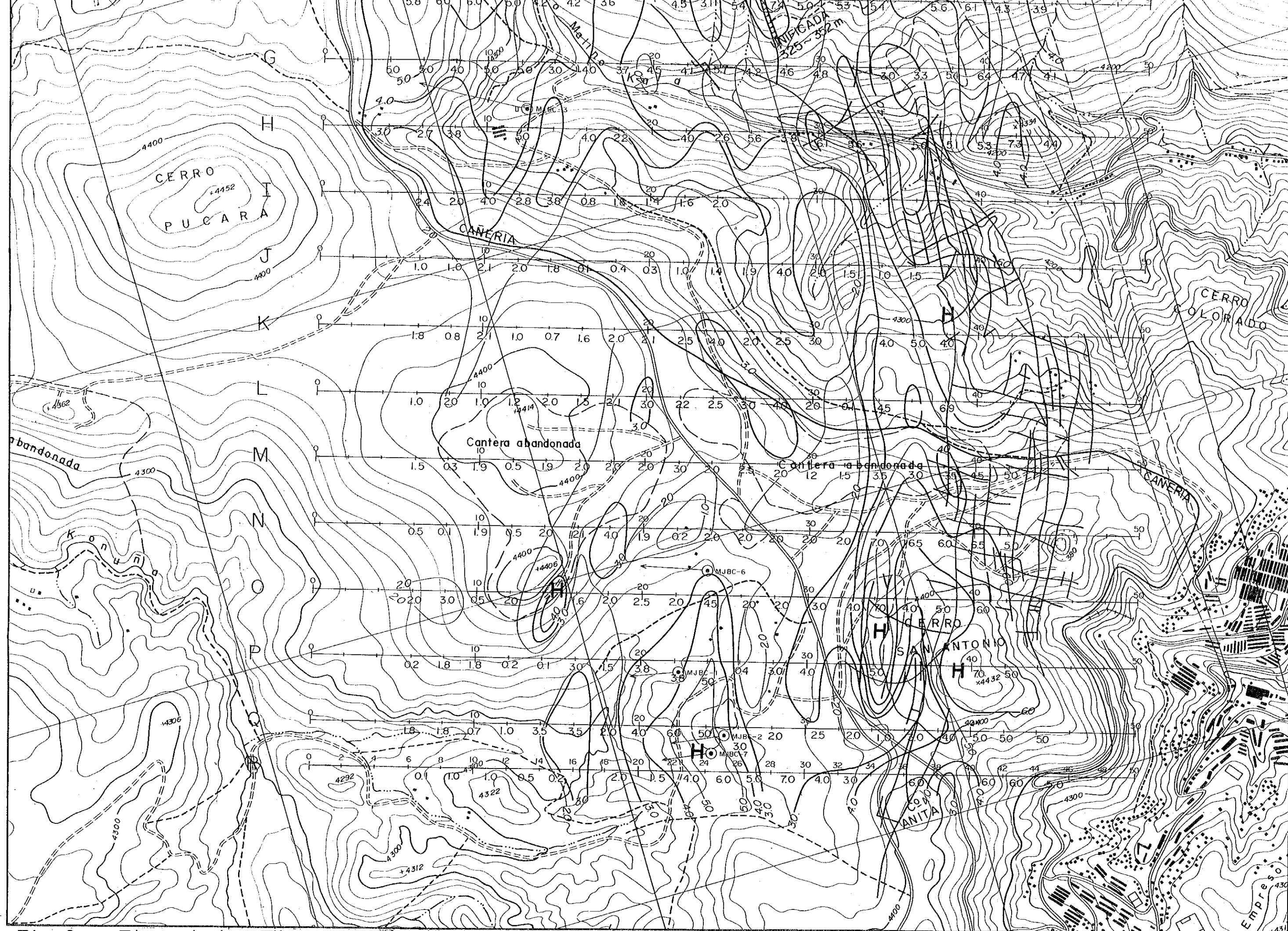


PL.-7 Plano de los Efectos de Frecuencia (n=2)

Unidad: % 0 500m



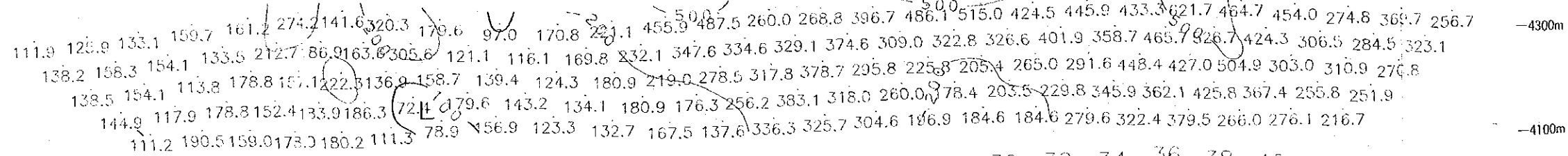
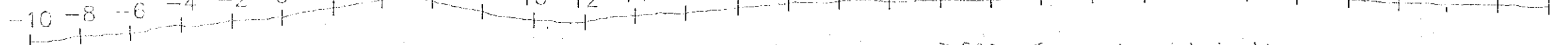




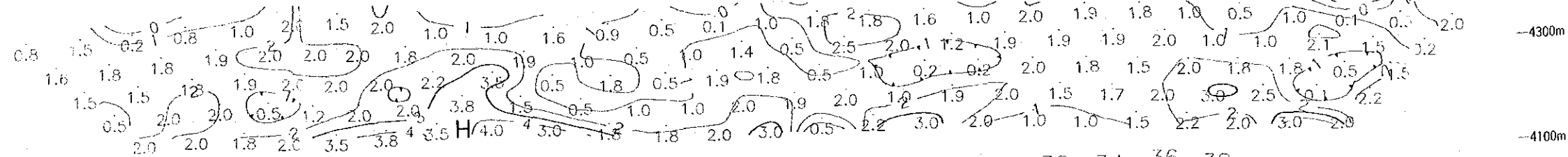
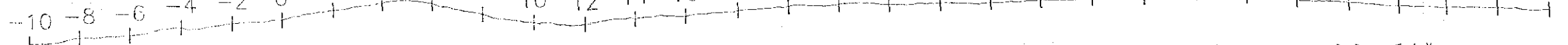
PL.-8 Plano de los Efectos de Frecuencia (n=4)

Unidad:% 0 500m

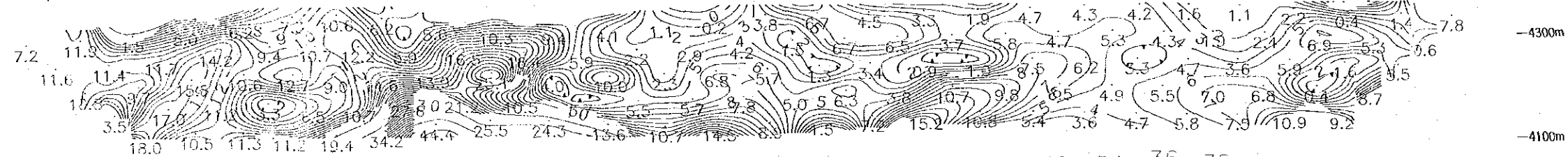
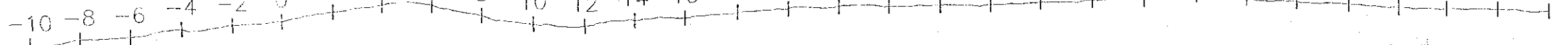
AR( $\Omega \cdot m$ )



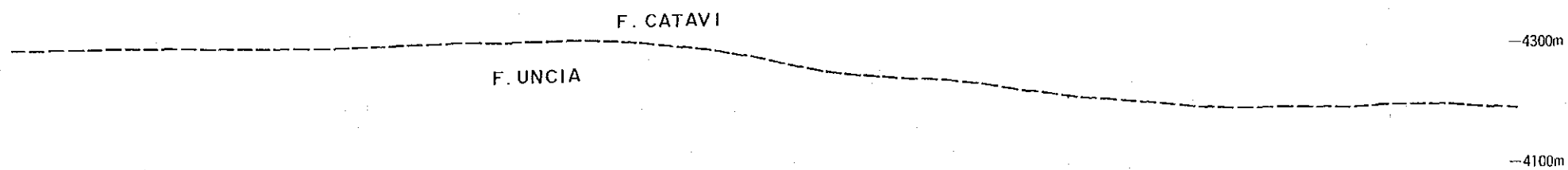
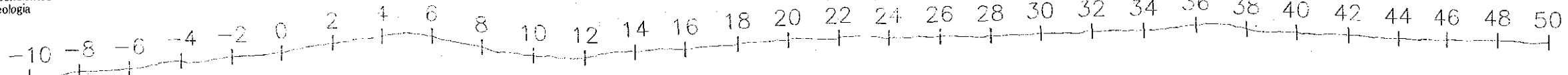
FE(%)



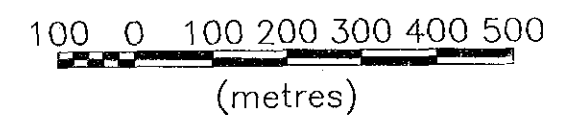
MCF

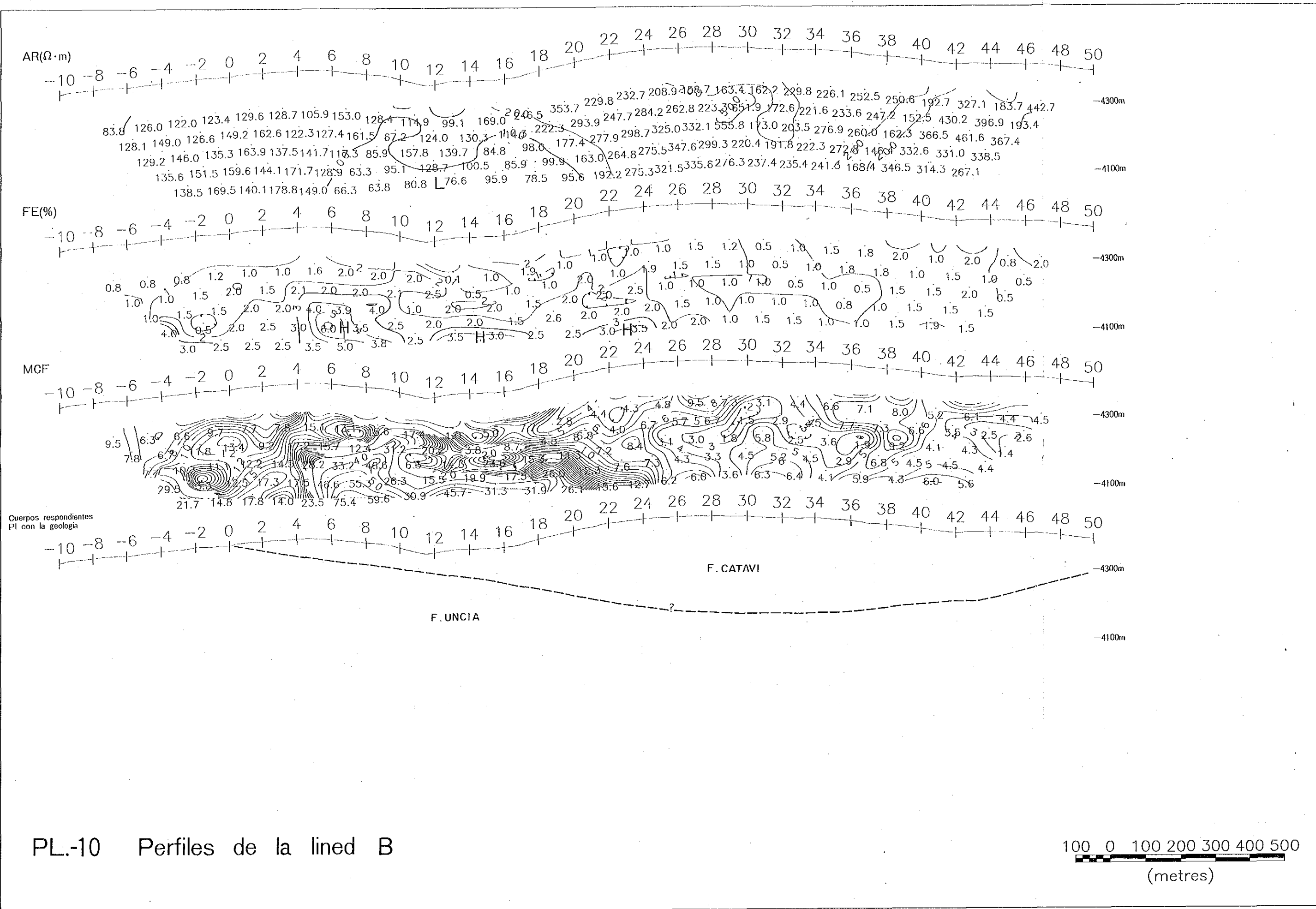


Cuerpos respondientes PI con la geología



PL.-9 Perfiles de la linea A

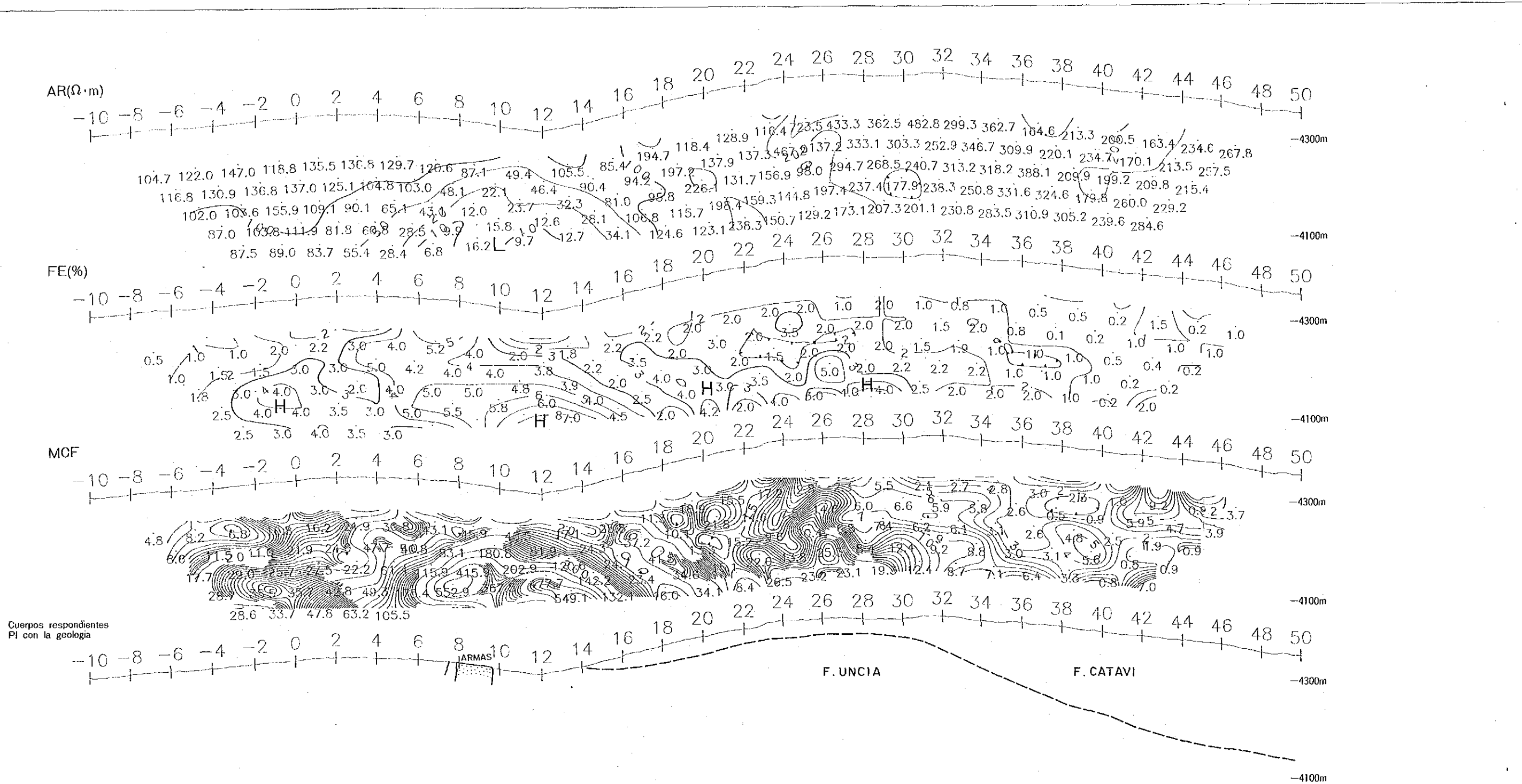




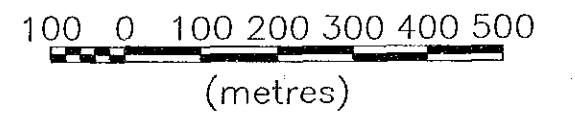
PL.-10 Perfiles de la lined B

100 0 100 200 300 400 500  
(metres)

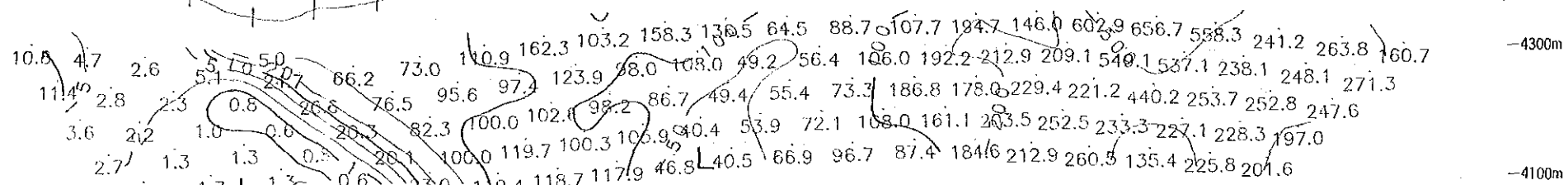
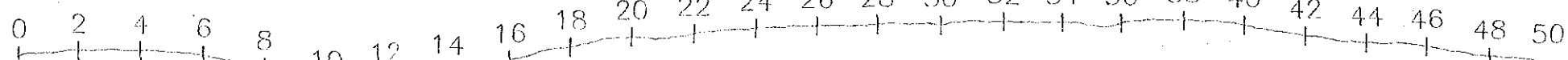




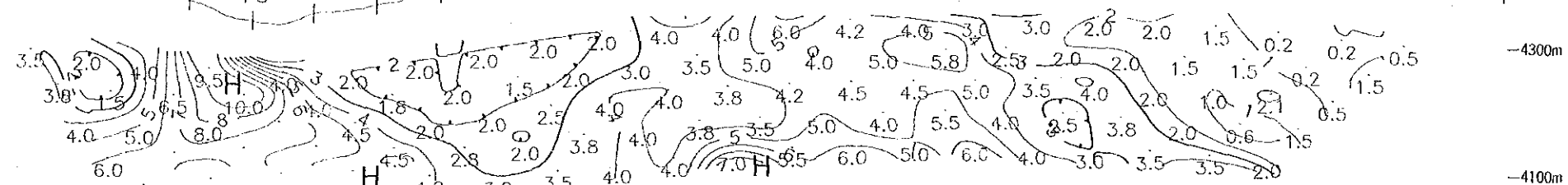
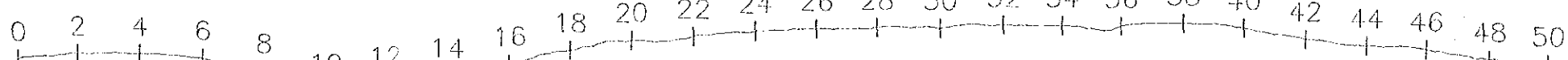
PL-11 Perfiles de la línea C



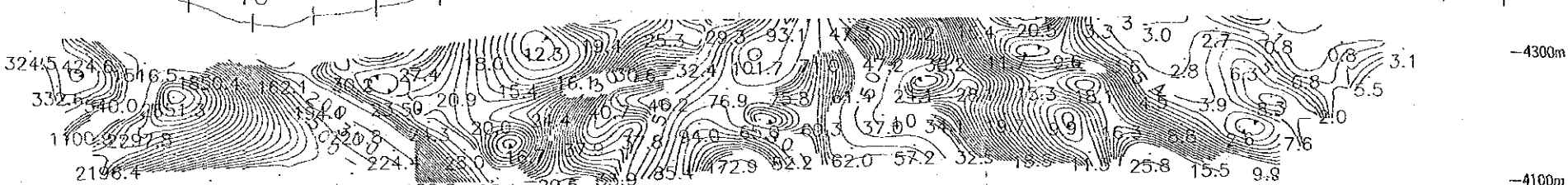
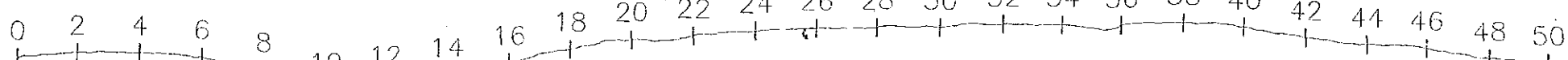
AR( $\Omega \cdot m$ )



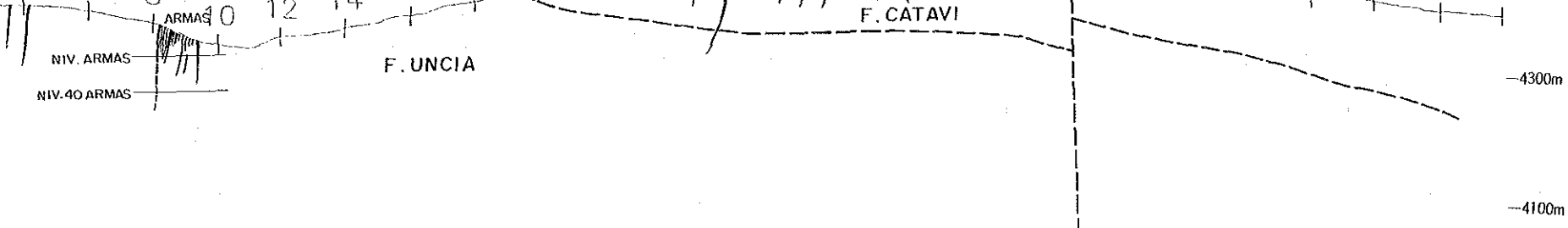
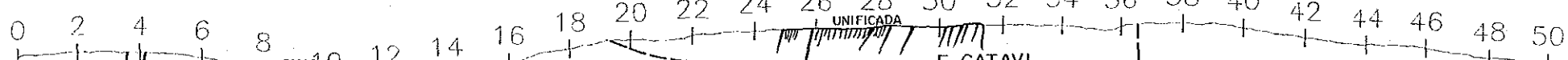
FE(%)



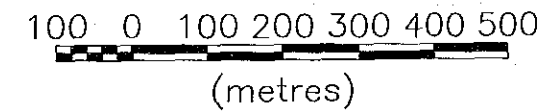
MCF

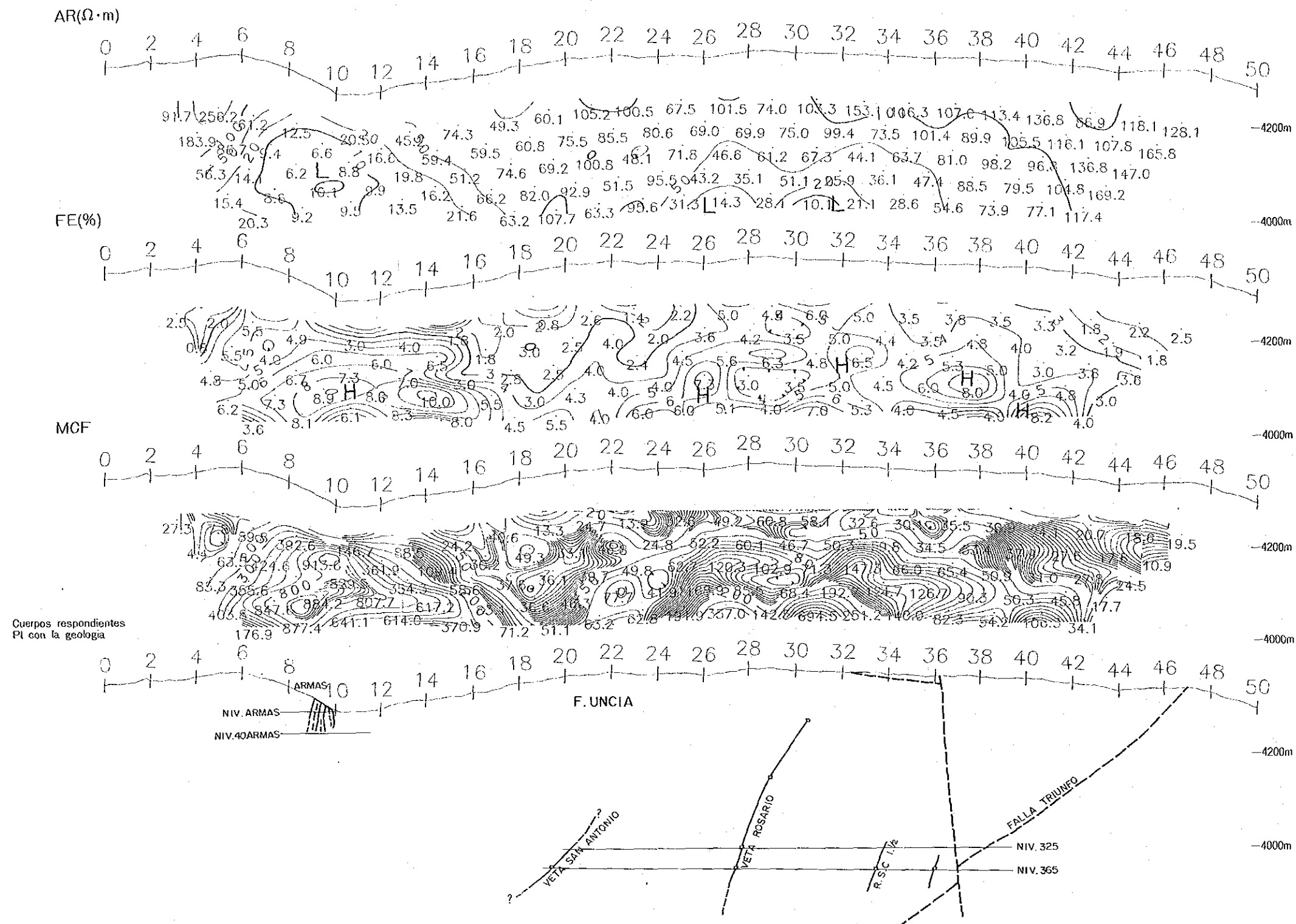


Cuerpos respondientes  
PI con la geología

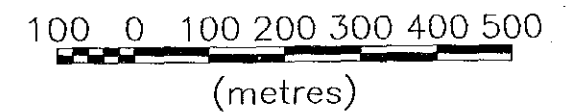


PL.-12 Perfiles de la linea D

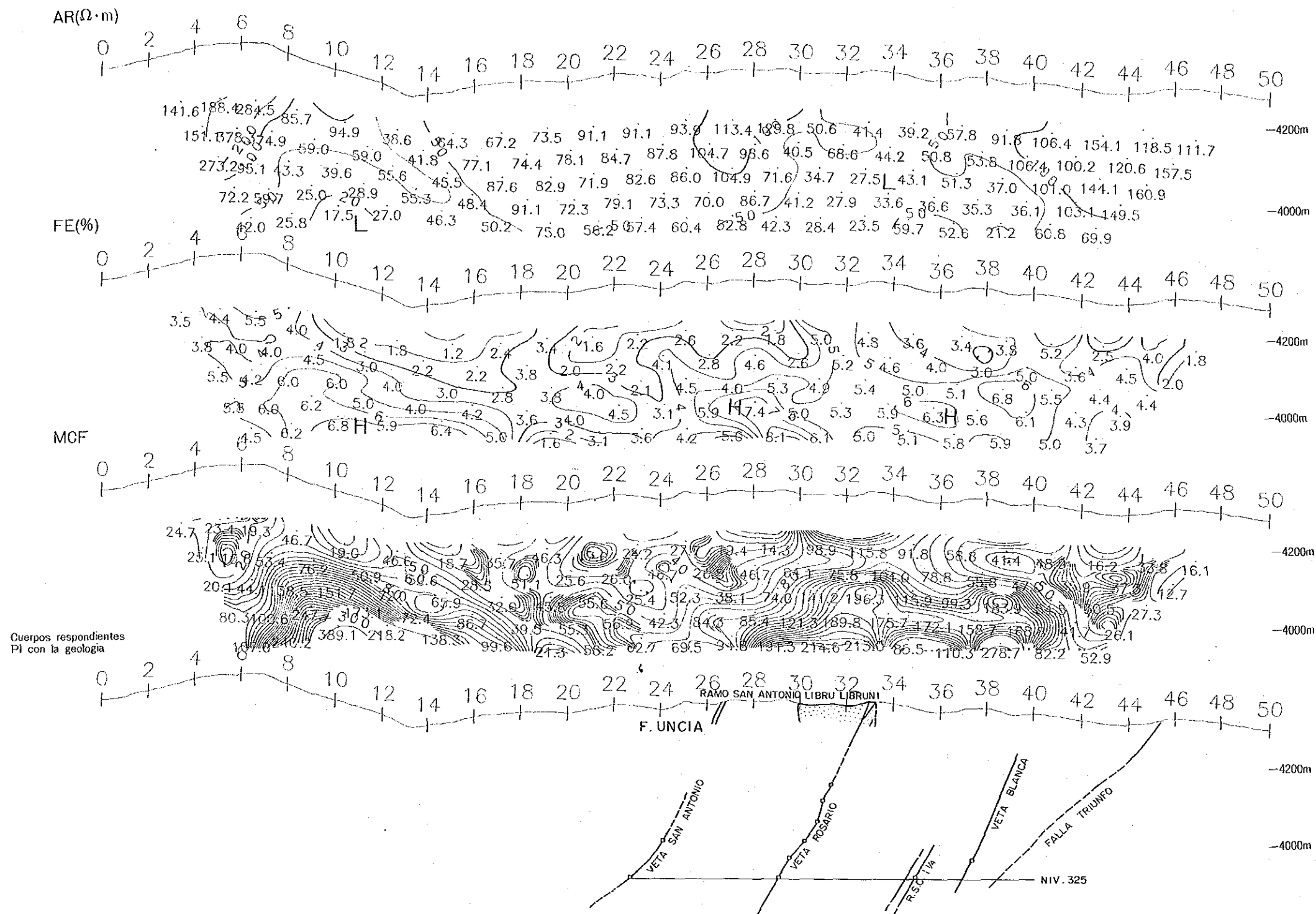




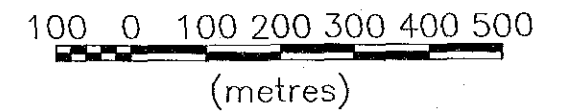
PL.-13 Perfiles de la linea E

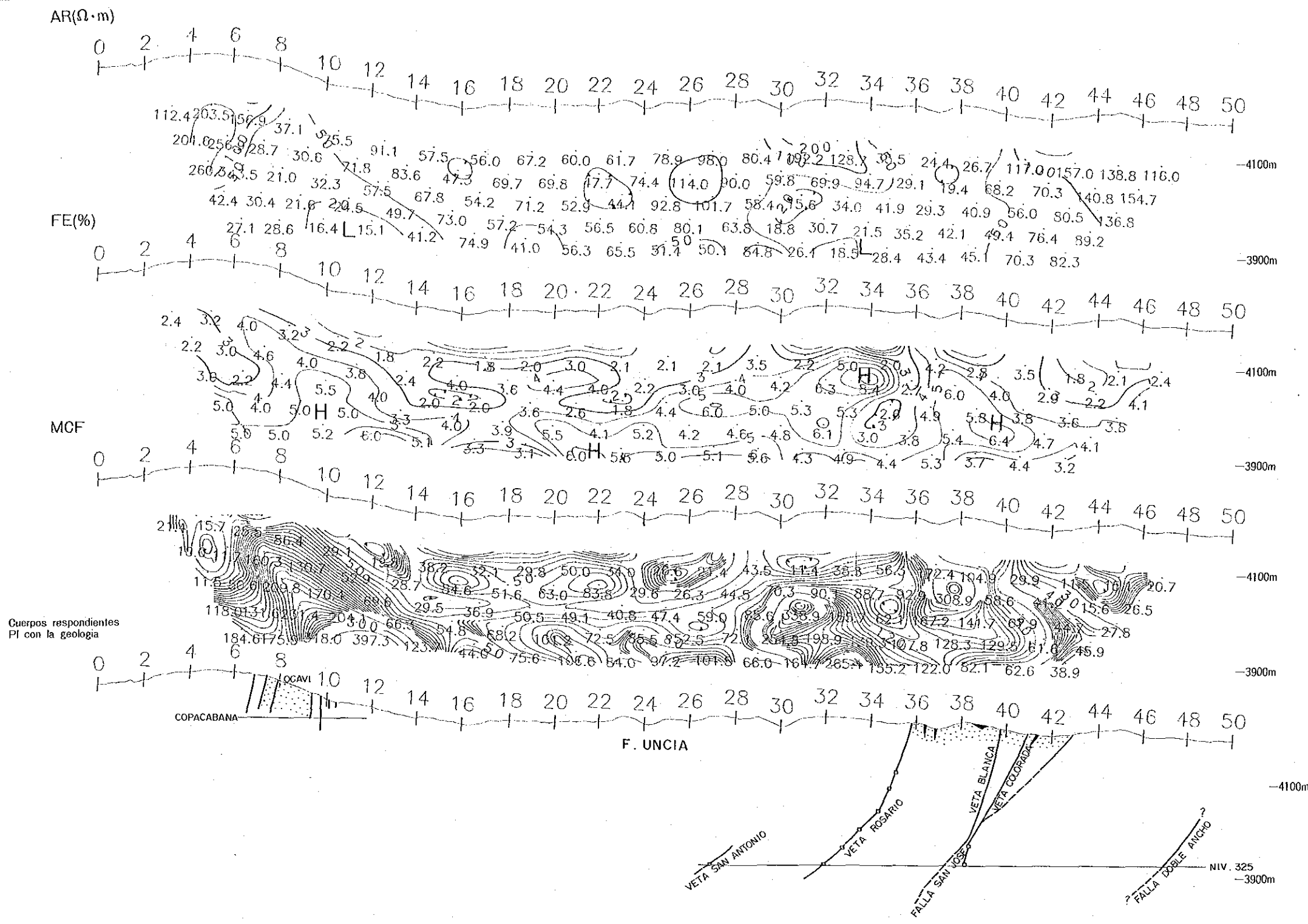




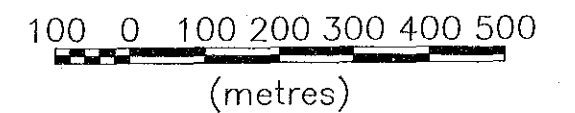


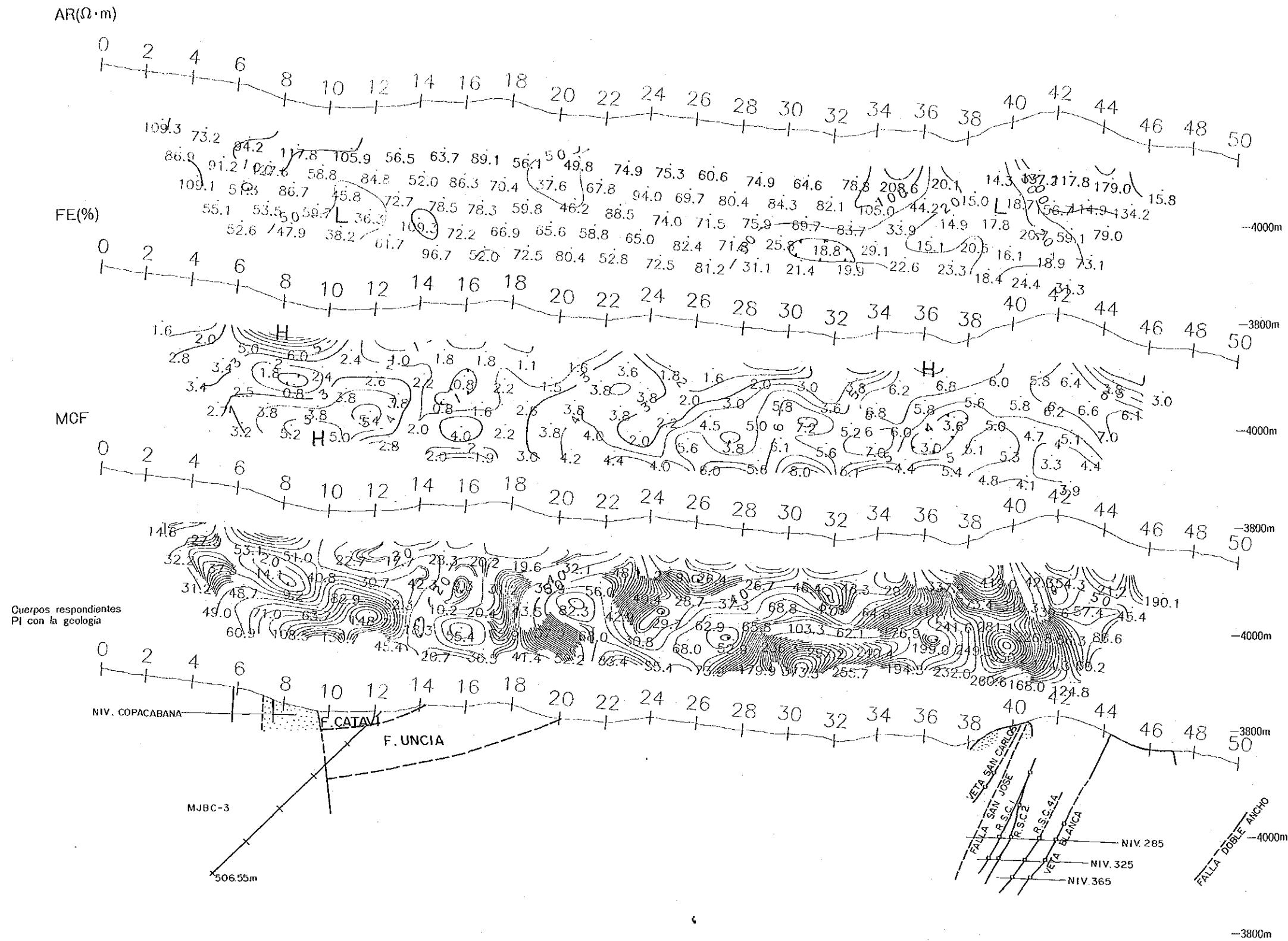
PL.-14 Perfiles de la línea F



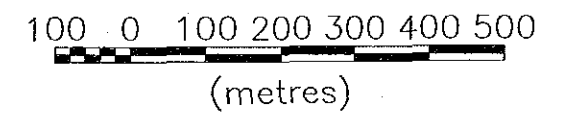


PL.-15 Perfiles de la linea G

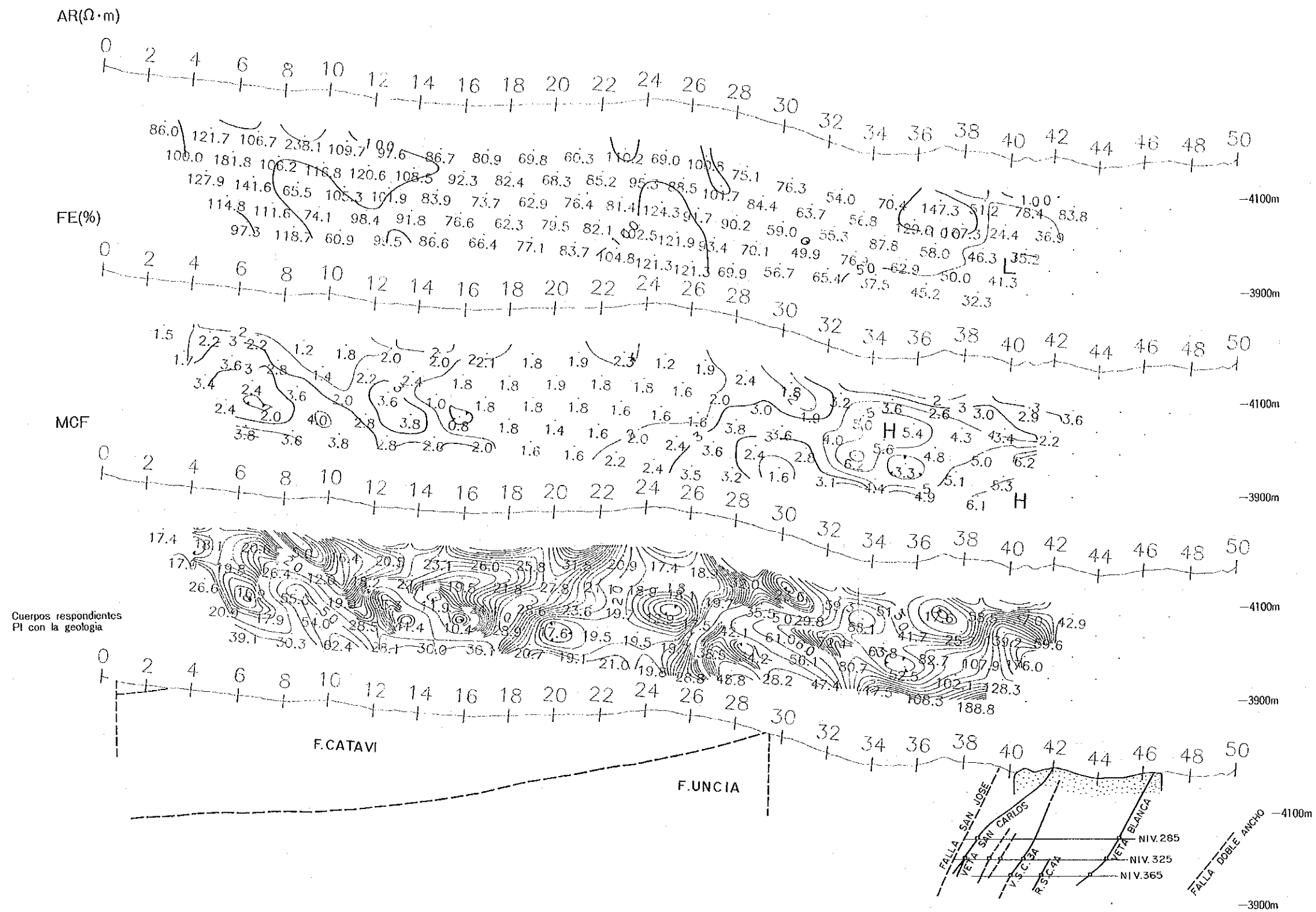




PL.-16 Perfiles de la linea H



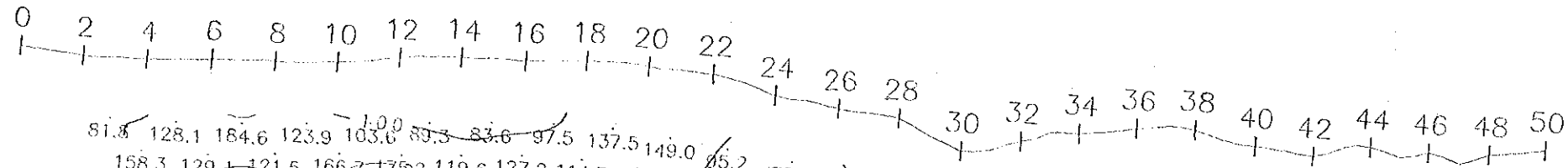




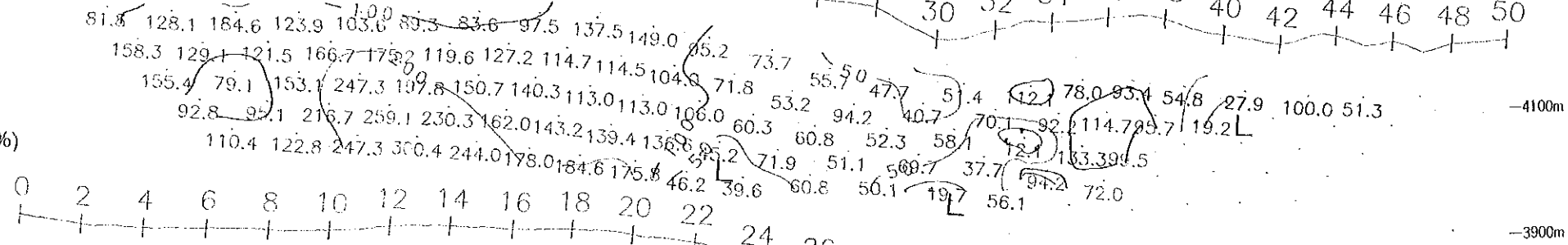
PL-17 Perfiles de la línea I



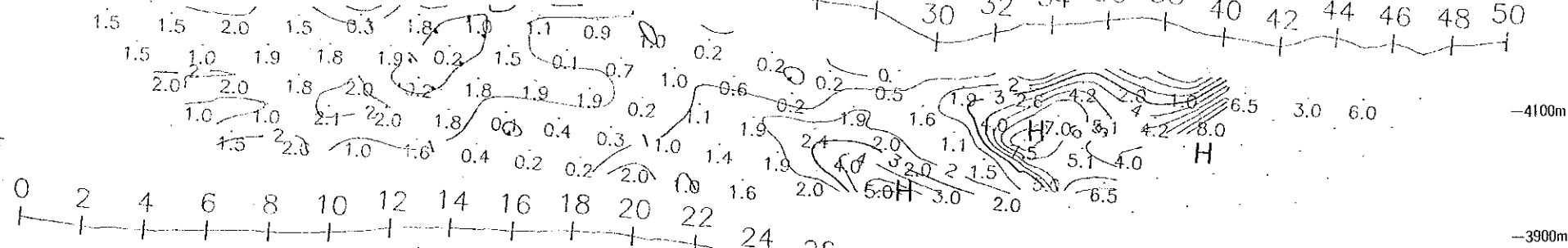
AR( $\Omega \cdot m$ )



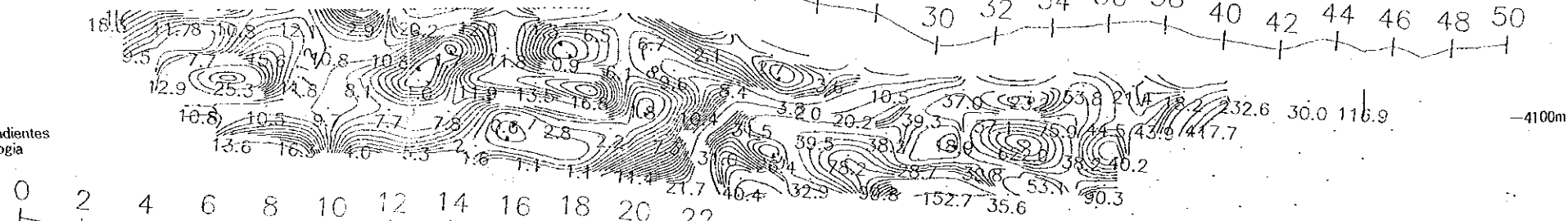
FE(%)



MCF

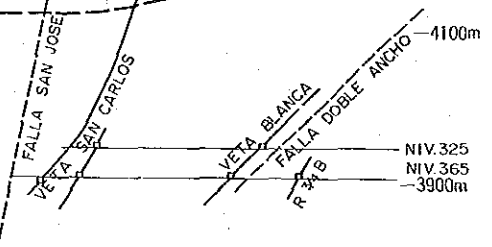


Cuerpos respondientes  
PI con la geología



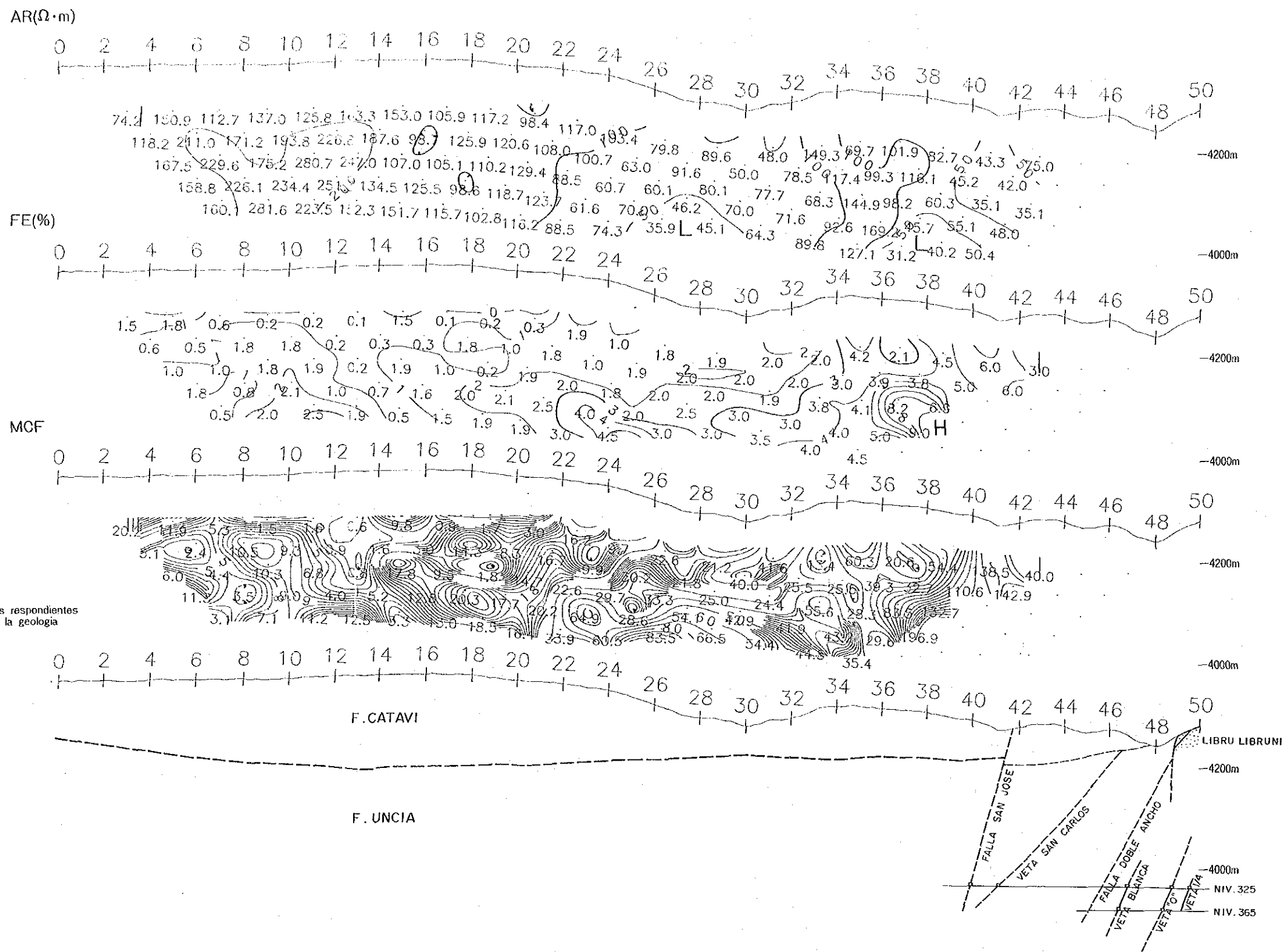
F. CATAVI

F. UNCIA

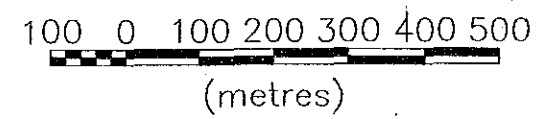


PL.-18 Perfiles de la linea J



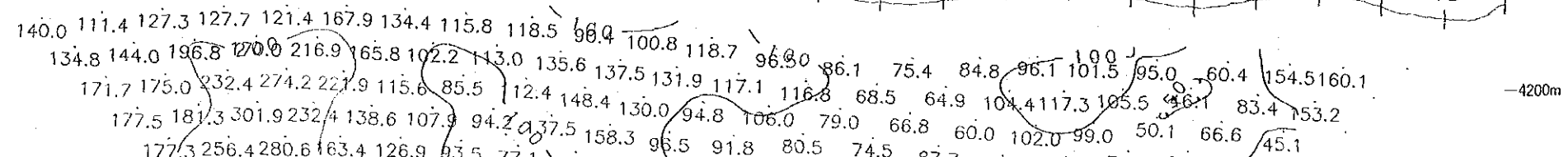
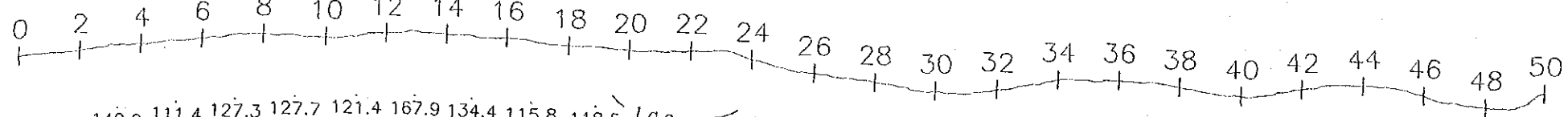


PL.-19 Perfiles de la linea K

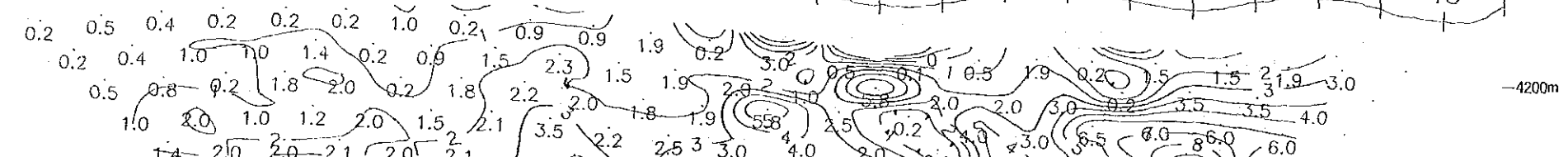
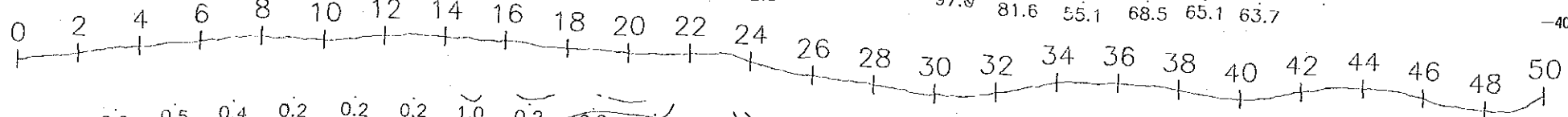




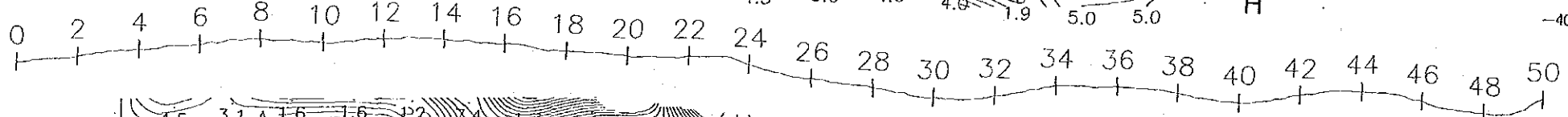
AR( $\Omega \cdot m$ )



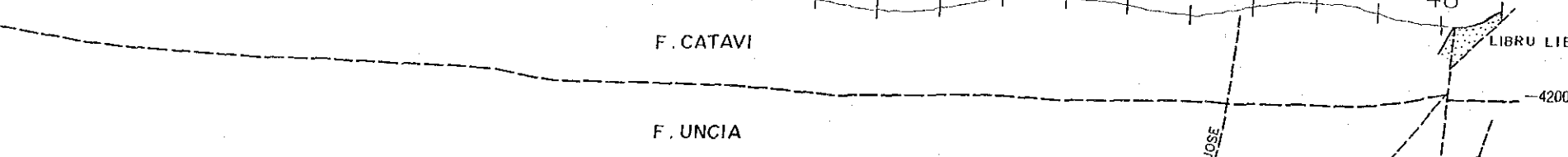
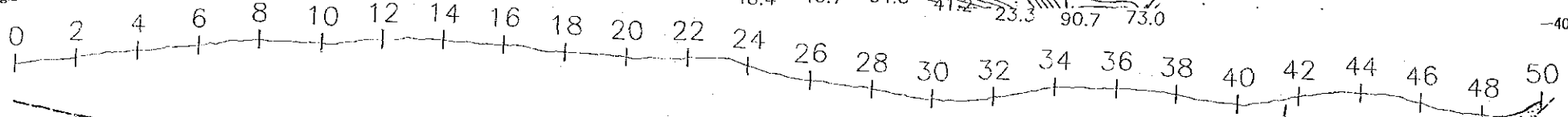
FE(%)



MGF



Cuerpos respondientes  
PI con la geología



F. CATAVI

F. UNCIA

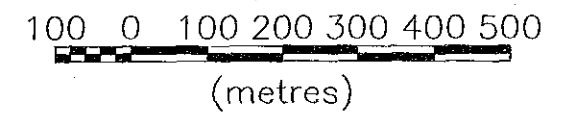
LIBRU LIBRUNI

FALLA SAN JOSE  
VETA ROSARIO

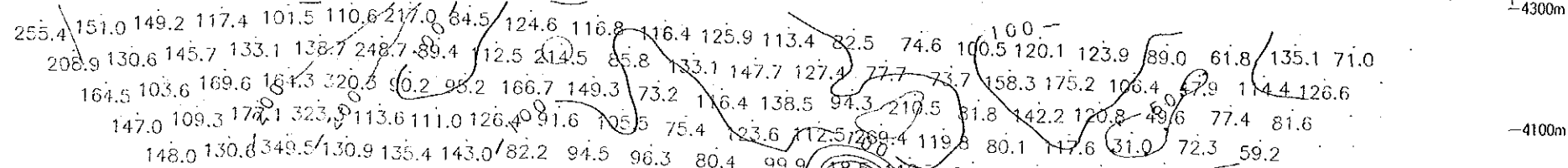
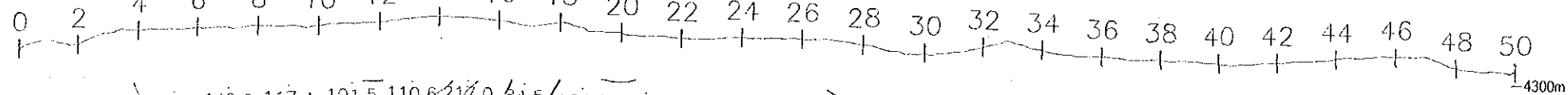
VETA NIV 325  
VETA UNO  
VETA 0

-4200m  
-4000m  
NIV. 325  
NIV. 365

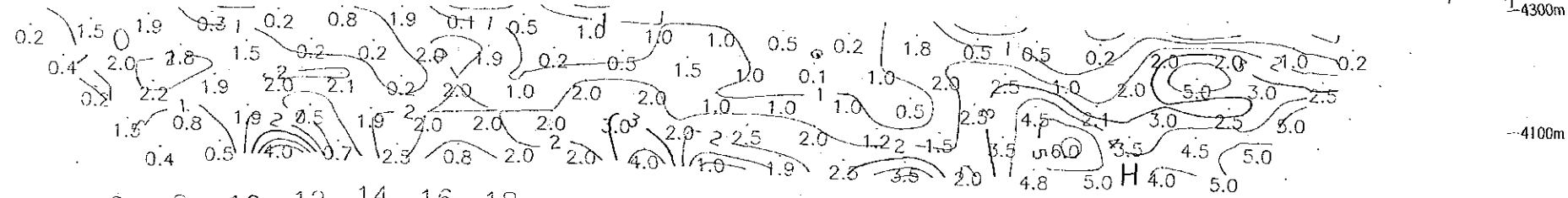
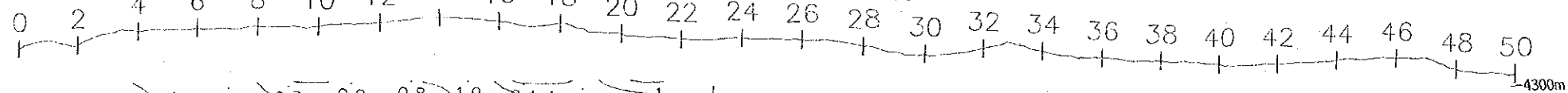
PL.-20 Perfiles de la linea L



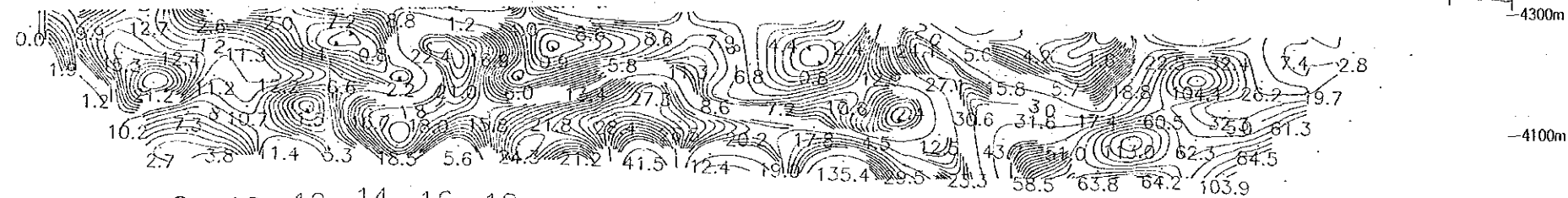
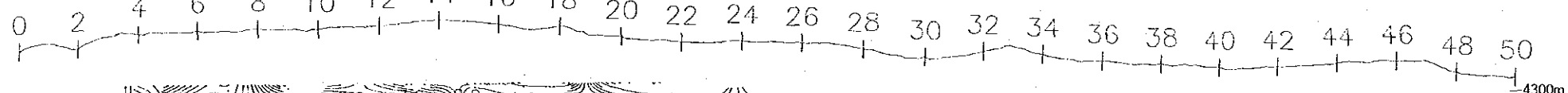
AR( $\Omega \cdot m$ )



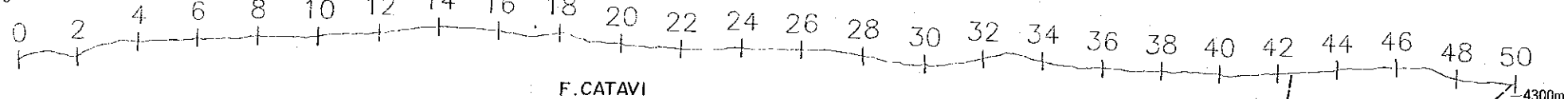
FE(%)



MCF



Cuerpos respondientes PI con la geología



F. CATAVI

F. UNCIA

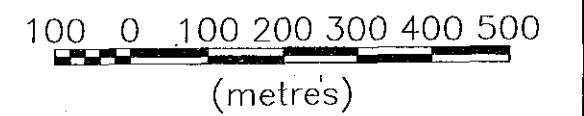
LIBRU LIBRUNI

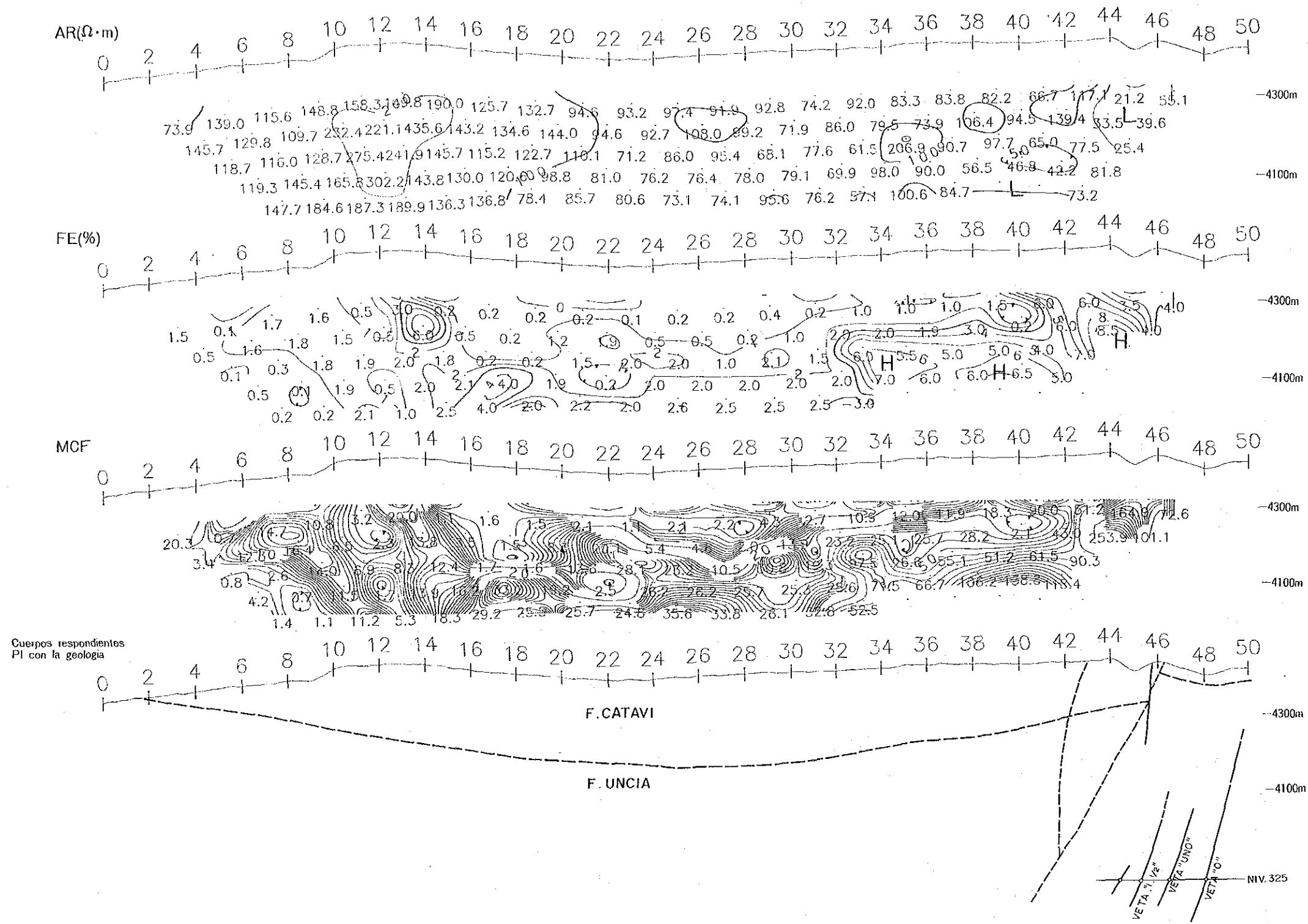
NIV. 325

NIV. 365

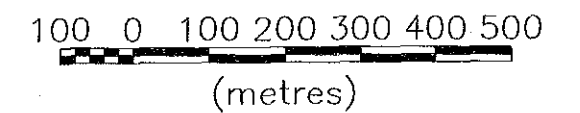
VETA UNO  
VETA DOS

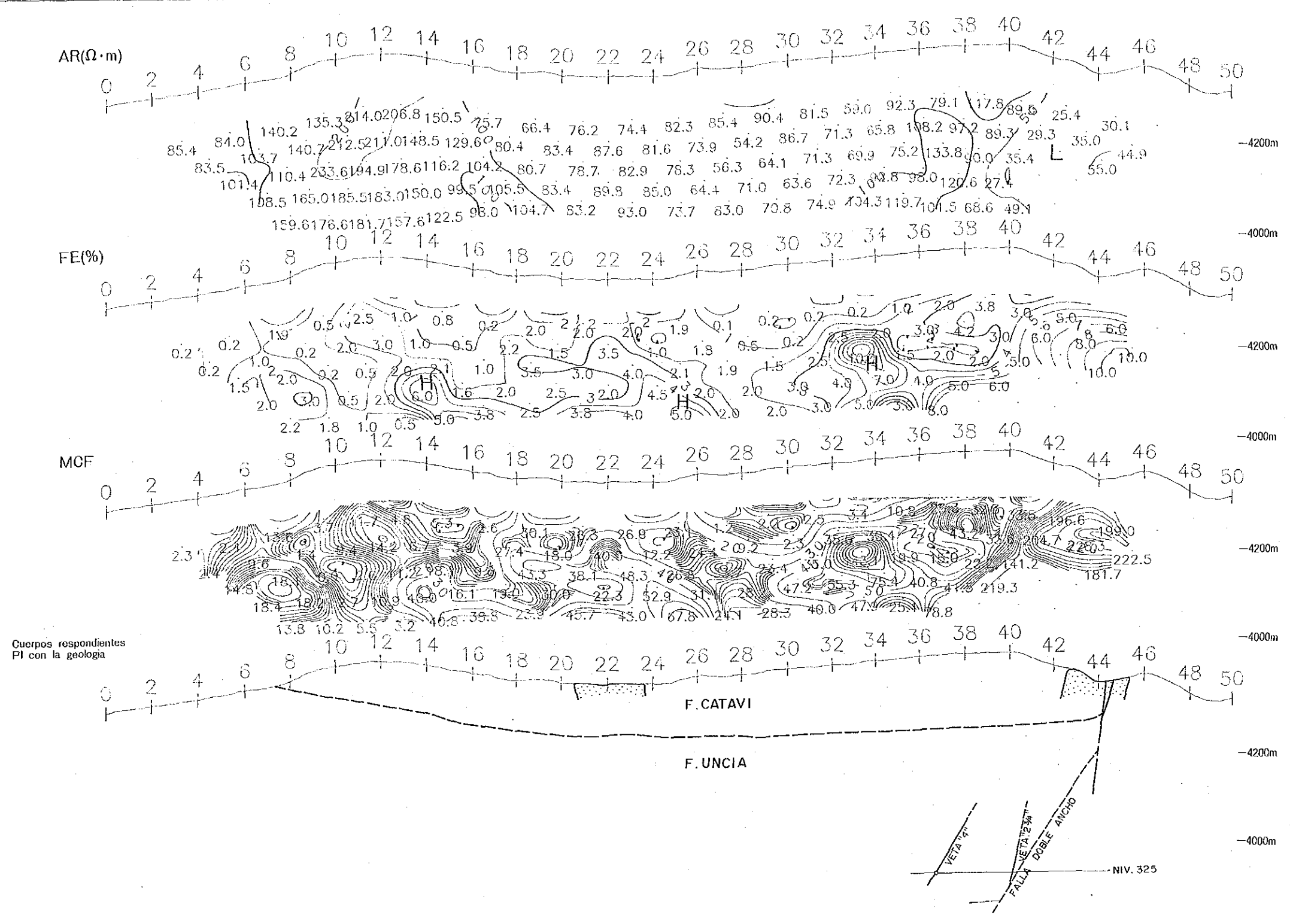
PL.-21 Perfiles de la linea M



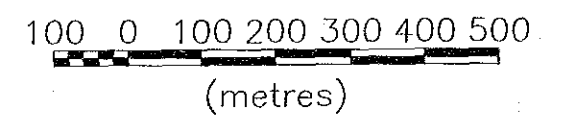


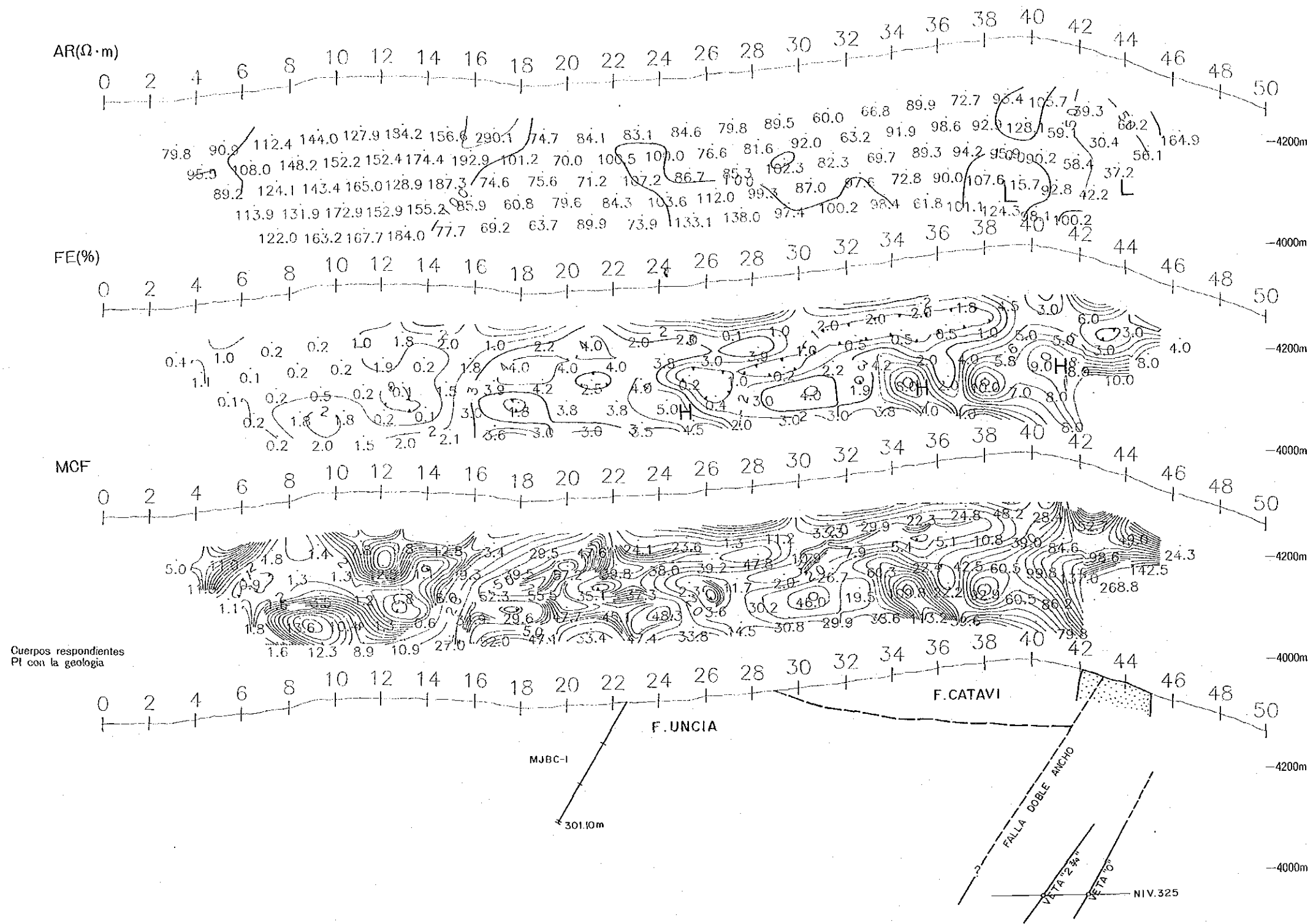
PL.-22 Perfiles de la linea N



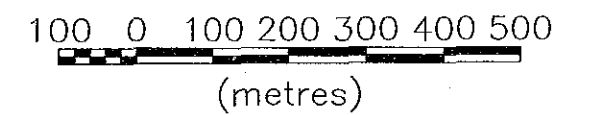


PL.-23 Perfiles de la línea O



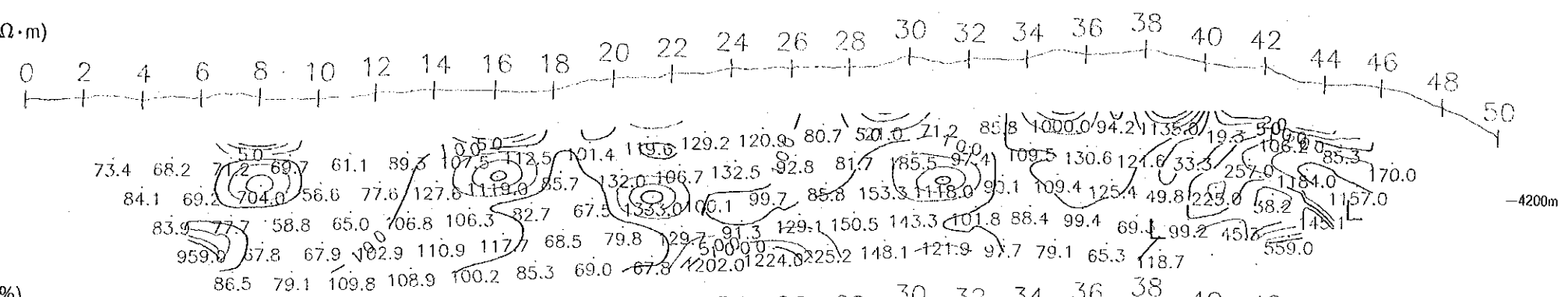


PL-24 Perfiles de la linea P

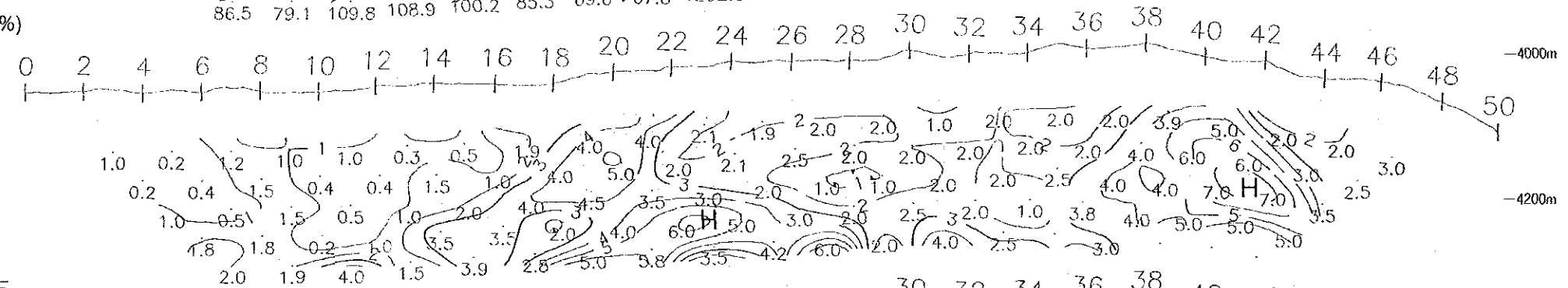




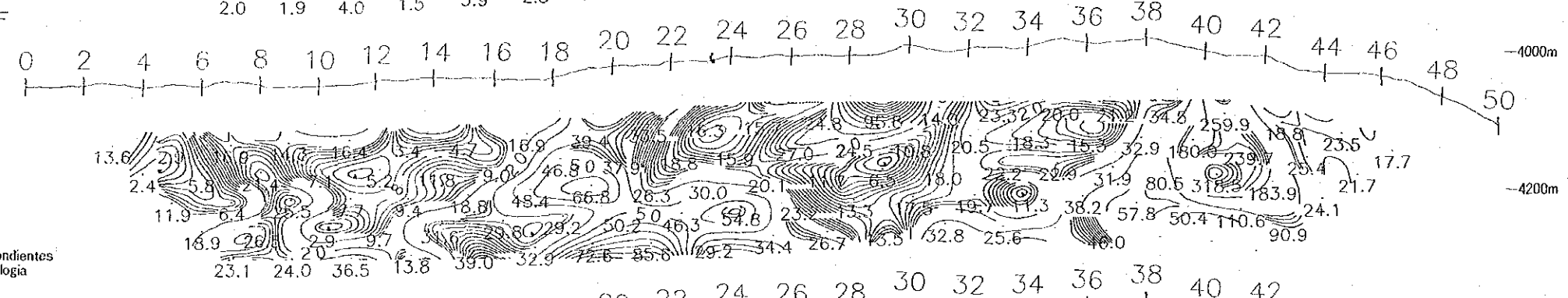
AR( $\Omega \cdot m$ )



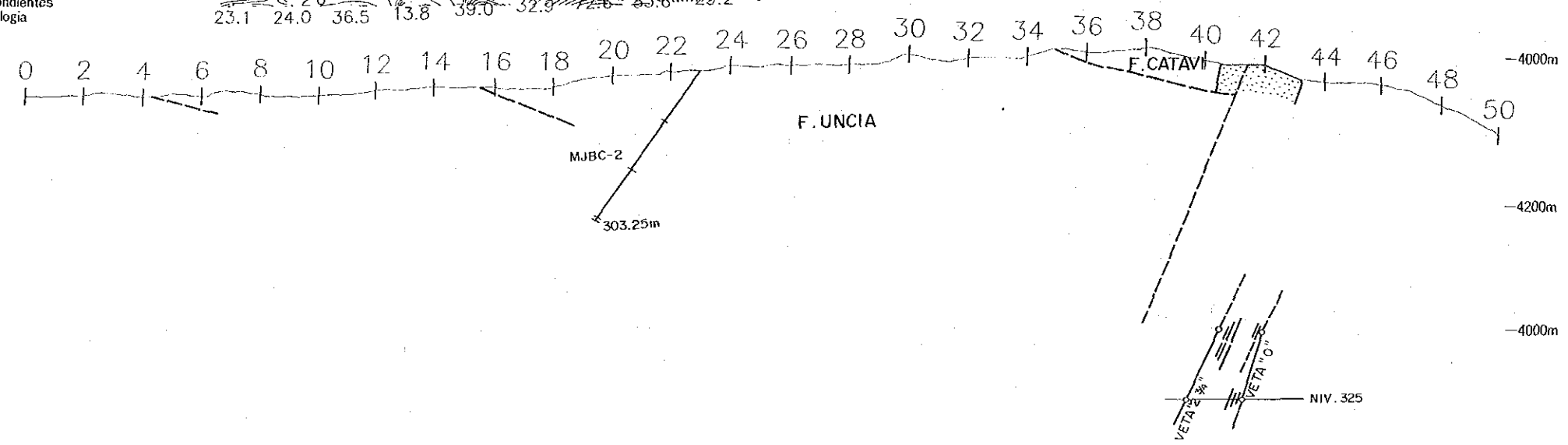
FE(%)



MCF

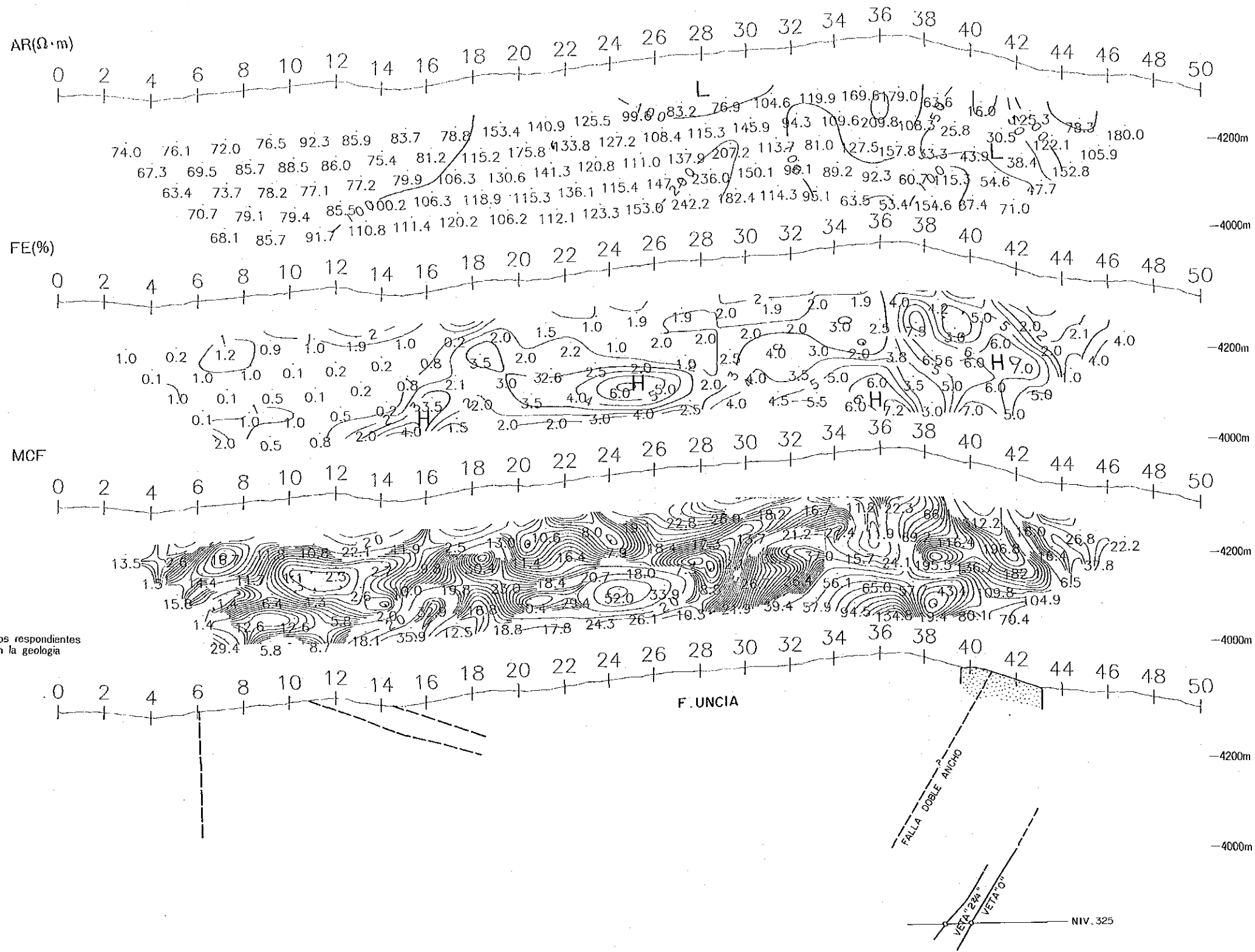


Cuerpos respondientes  
PI con la geología



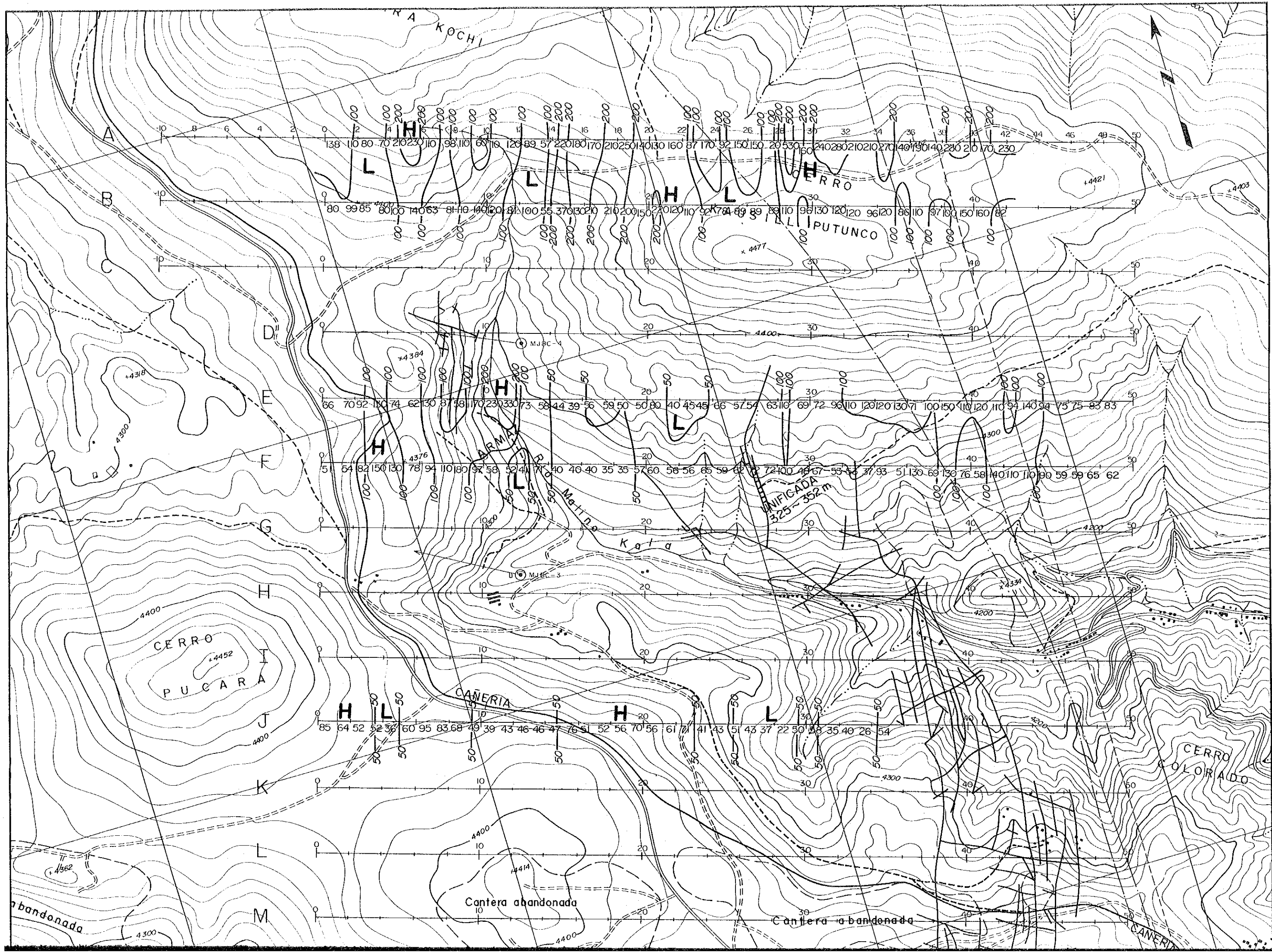
PL.-25 Perfiles de la linea Q

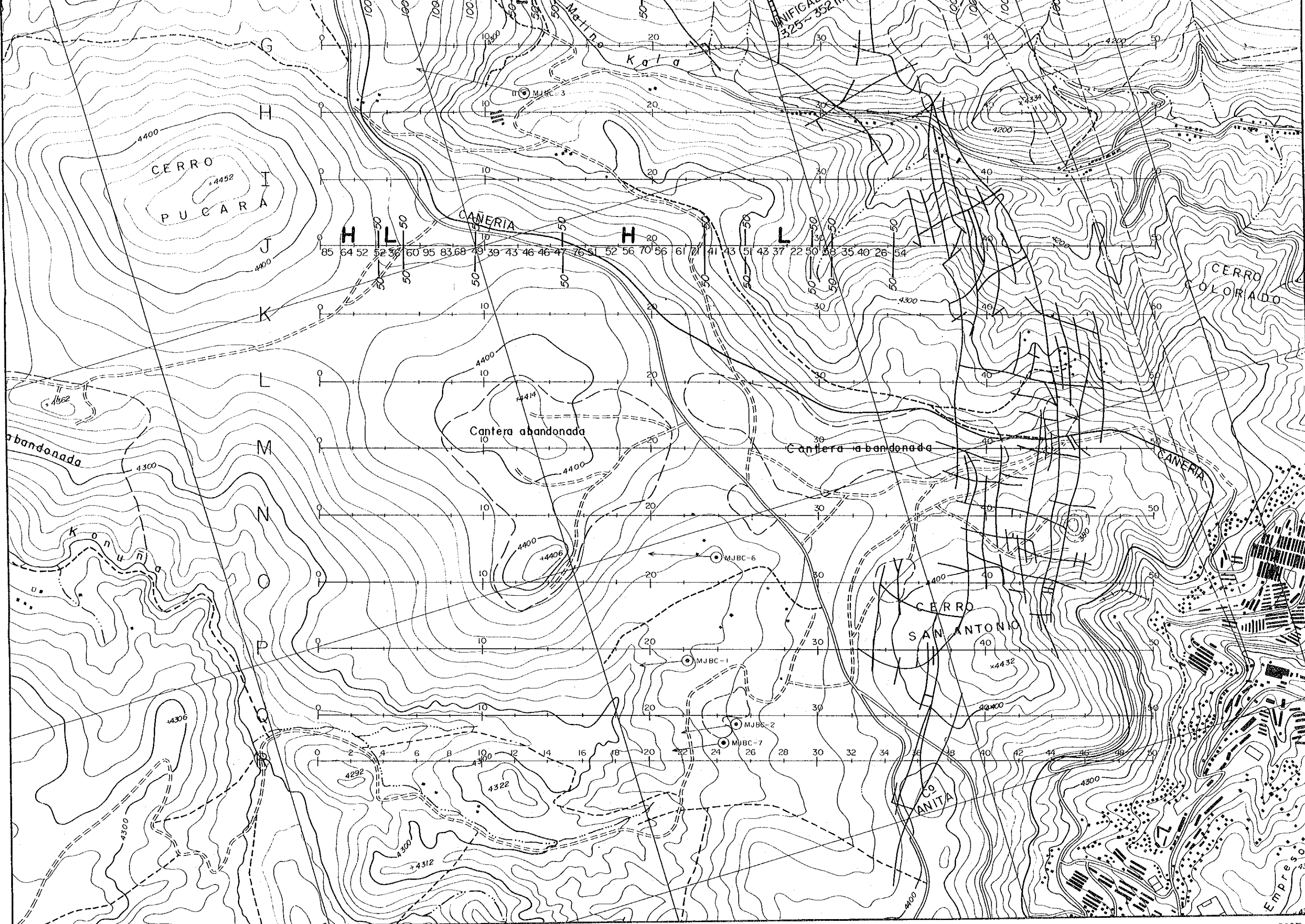




PL.-26 Perfiles de la linea R



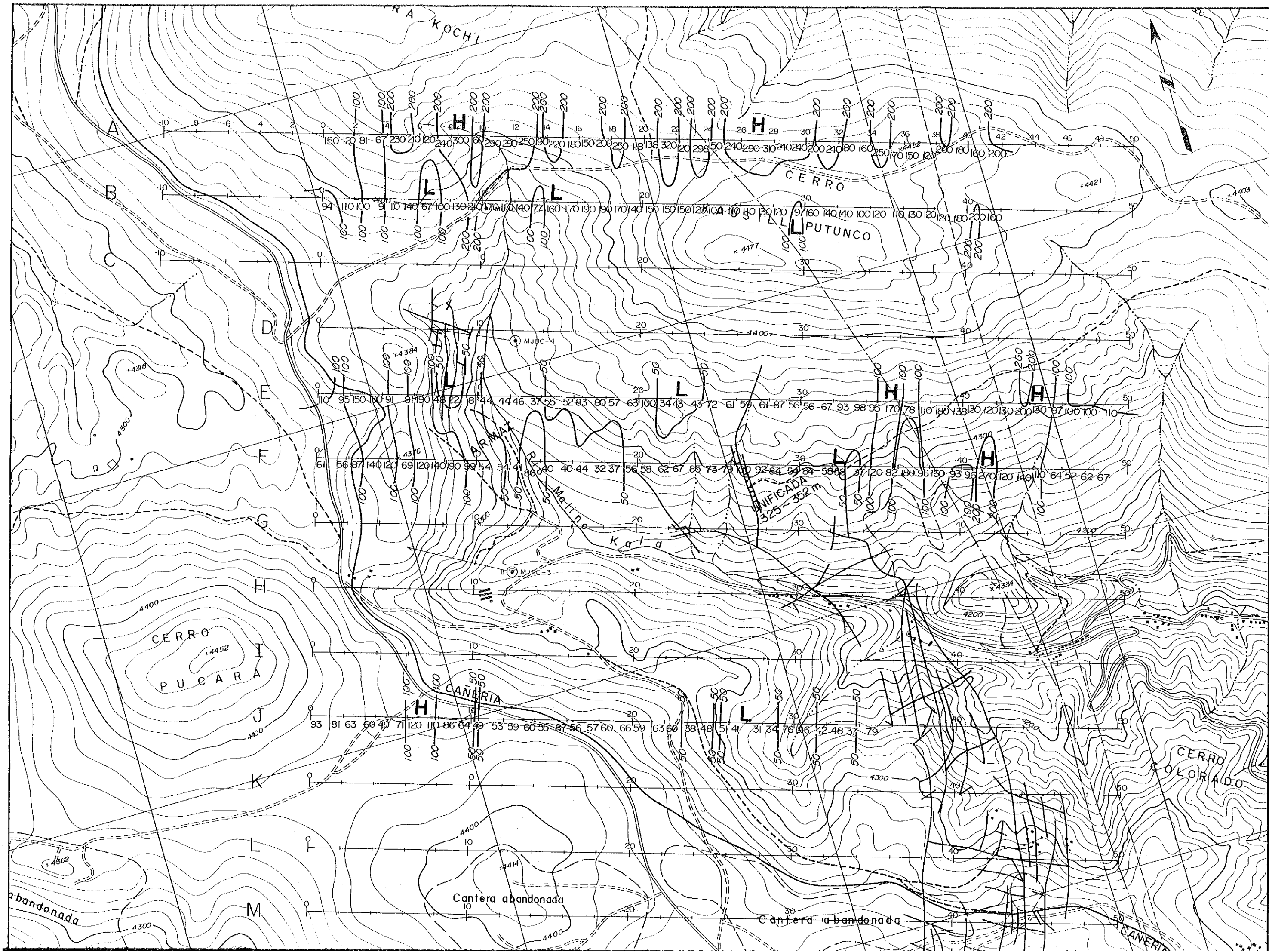




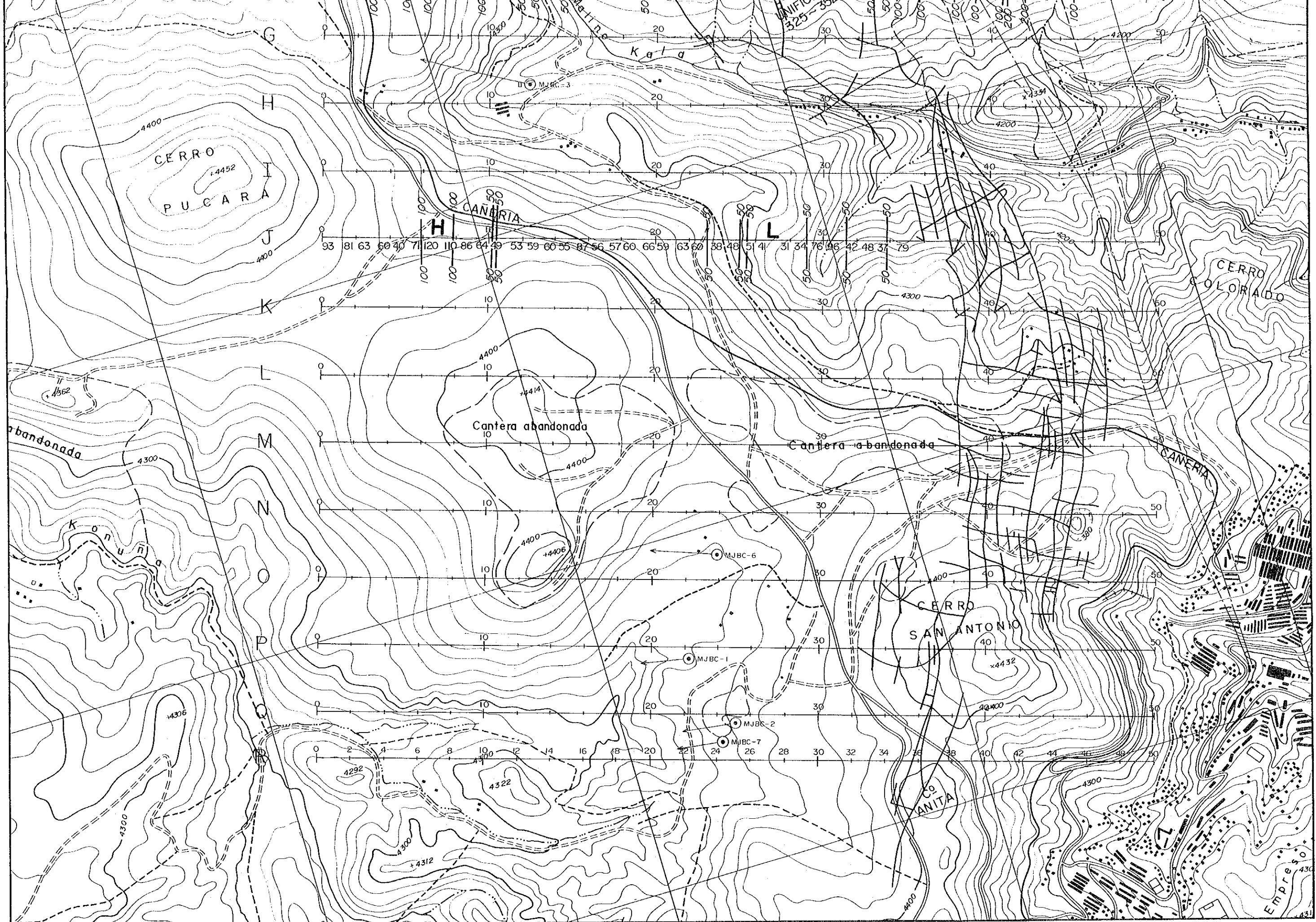
PL.-27 Plano de la Resistividad Aparente(2048Hz)

Unidad:  $\Omega \cdot m$  0 500m









PL.-28 Plano de la Resistividad Aparente (512Hz)

Unidad:  $\Omega \cdot m$  0 500m